Semaine 10 - 2024

# Flambage des poutres

CHAPITRE 11 de Gere and Goodno

PARTIE 1: (slide 3 - 20)

Flambage – modèle Euler par equ. différentielle

PARTIE 2: (slide 21 - 33)

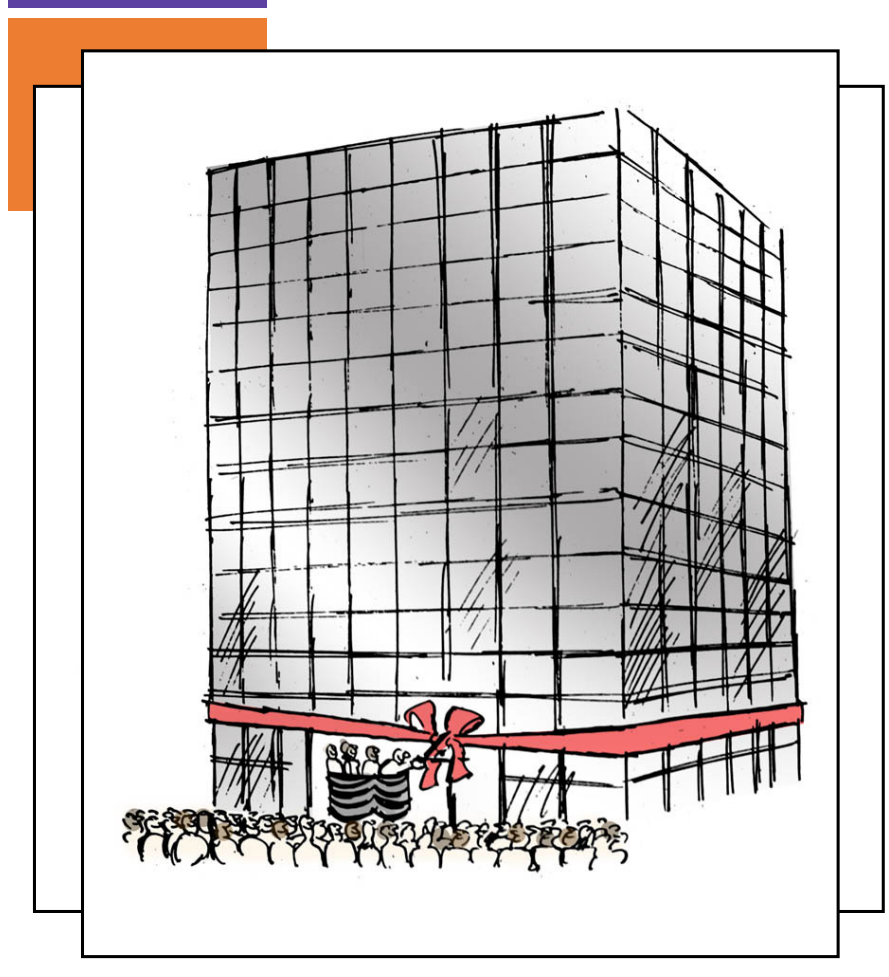
Défaillance (failure)

PARTIE 3: (slide 34 - 47)

Bistabilité

PARTIE 4: (slide 48 - 56)

Charges excentriques



# PROGRAMME DU COURS, semaines 7-10

				i
6		Force internes dans les poutres non-déformées.		
O	15.10	Méthode Section et différentielle		
		s(v) at $\pi(v)$ an flavian pure		
6		$\varepsilon(y)$ et $\sigma(y)$ en flexion pure		
	17.10	Moment d'inertie	Série 6	
_				
7	29.10	Charge axiale. Poutre composite	Série 6	
	23.10	Charge axiale. I outre composite	SCITE 0	
7	31.10	Quiz + Session questions & réponses	Série 1-5	
8	05.11	Examen mi-semestre		
	00.111			
8	07.11	Flèche des poutres	Série 7	
9	12.11	Flèche pour guidage flexible	Série 8a	
			00.7000	
9	14.11	Systèmes indéterminés	Série 8b	
10	19.11	Flambage	Séries 9	
	19.11	Fraimage	361163 9	
10	21.11	Q&A	Série 10	

# Semaine 10 – partie 1 Objectifs d'apprentissage

- Savoir définir le flambage dans une poutre, et ses conséquences
- Pouvoir Calculer la force  $F_{cri}$  critique pour flambage, en fonction des supports

## Flambage

## σ<sub>flambage</sub> << σ<sub>max, matériau</sub>

- Le flambage: une <u>instabilité</u> qui se produit lorsqu'une poutre subit une déformation large et soudaine sous une charge compressive beaucoup plus petite que la charge nécessaire pour atteindre la contrainte maximum ( $\sigma_{\text{flambage}} << \sigma_{\text{max}}$ )
- Cette défaillance est liée à une déflexion dans une direction <u>perpendiculaire</u> à la charge

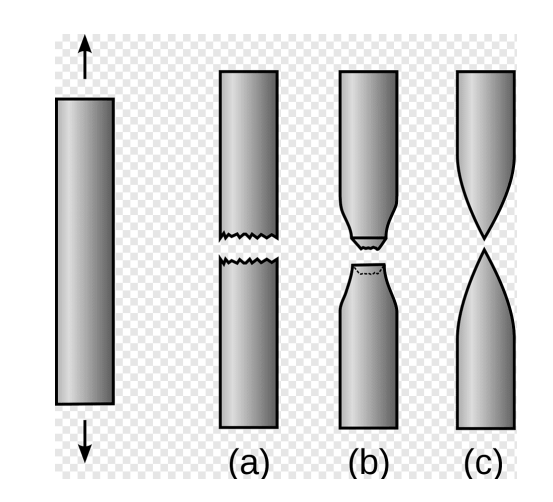


Ici, cylindre creux et non une poutre, mais c'est du flambage quand même!

On pense souvent à la contrainte max pour la rupture d'un matériau.

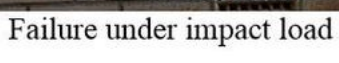
Mais le flambage demande un autre type de réflexion: flambage mène:

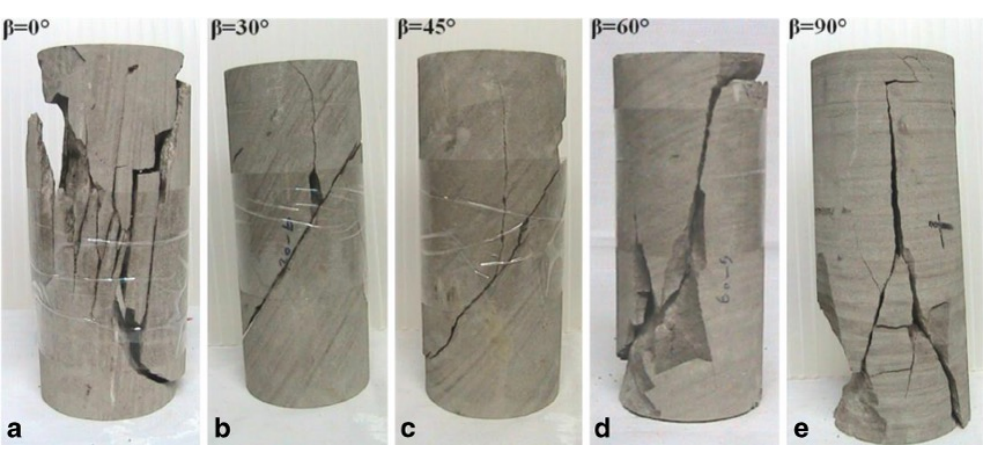
- une défaillance de la structure (ne soutient plus les charges)
- à de grandes contraintes,
- et donc à une rupture (ou déformation plastique)











Exemple de flambage catastrophique: suite au flambage, de grandes déformations et des contraintes énormes, et rupture

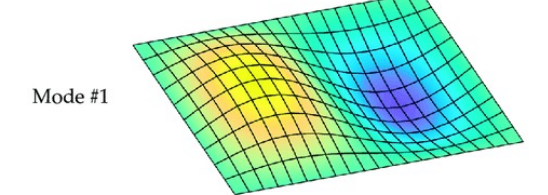
#### Buckling of a water-reservoir's columns



Après flambage, le support ne peut plus soutenir la charge du réservoir d'eau

Structure mince et légère, conçue pour charge vertical

#### Exemple de flambage sans défaillance structurelle



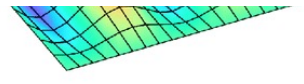
- Pour l'avion à droite, c'est la structure sous-jacente qui est assez rigide pour résister aux contraintes
- Pour la pièce usinée en verre avec des guidages flexibles ci-dessous, le flambage est bi-stable et « enlève la charge »



Y. Bellouard / S. Henein



https://theaviationist.com/2019/11/20/lets-talk-about-the-b-52-strategic-bombers-characteristic-skin-wrinkles/

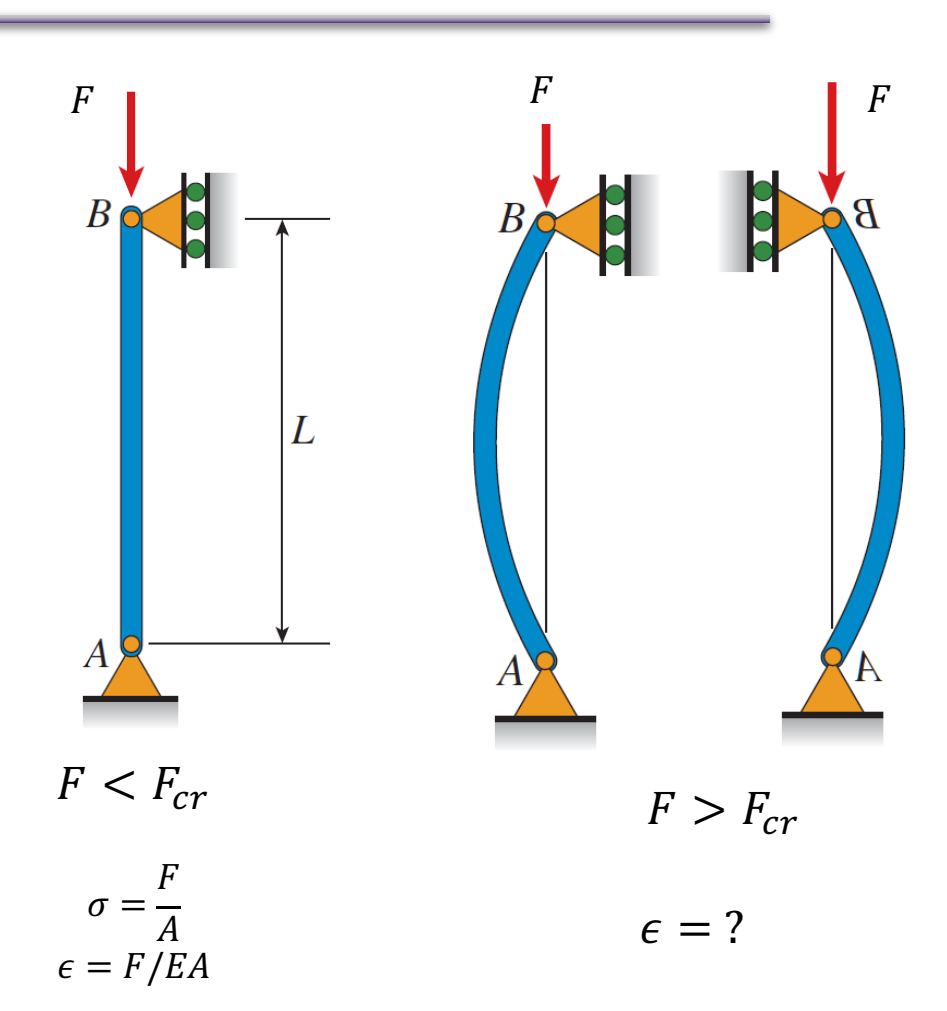


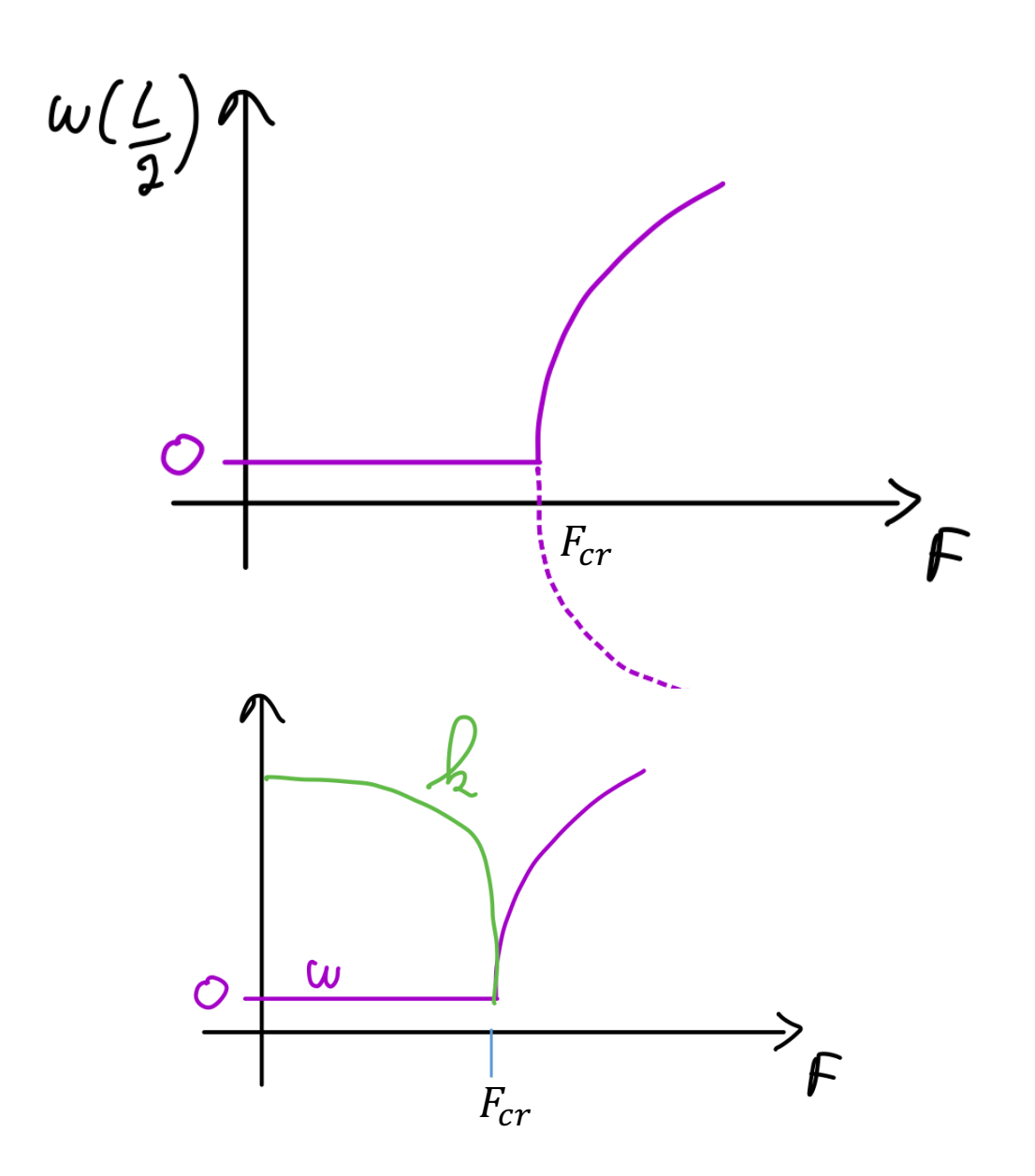
https://www.mdpi.com/1996-1944/12/8/1262

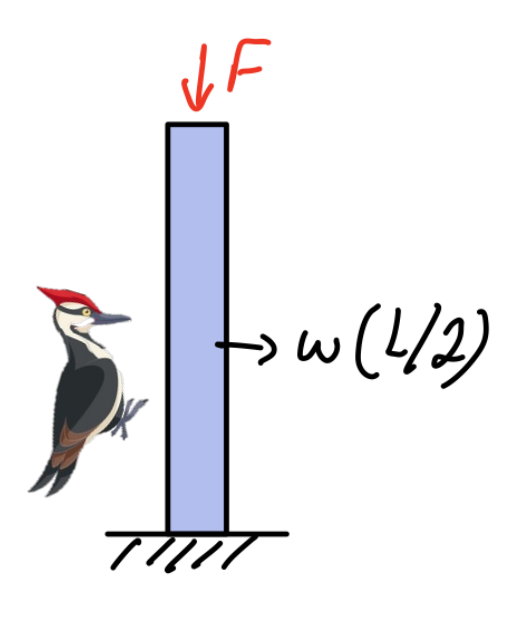
## Flambage d'une poutre (charge purement axiale)

Deux régimes de déformation lorsqu'une poutre est chargée en compression:

- $F < F_{cr}$ : Quand la charge axiale est petite, le changement de longueur sera simplement dû à la contrainte compressive.
- $F > F_{cr}$  Si la charge axiale dépasse une charge critique  $F_{cr}$ , la poutre devient instable et toute perturbation entraînera un flambage (la poutre se plie).
  - Dès qu'elle plie, la poutre risque fort de se casser car les contraintes  $(\sigma_x)$  peuvent dépasser les seuils critiques, avec très grande flèche
  - □ Cas (bi)stable: poutre qui flambe avec une course limitée

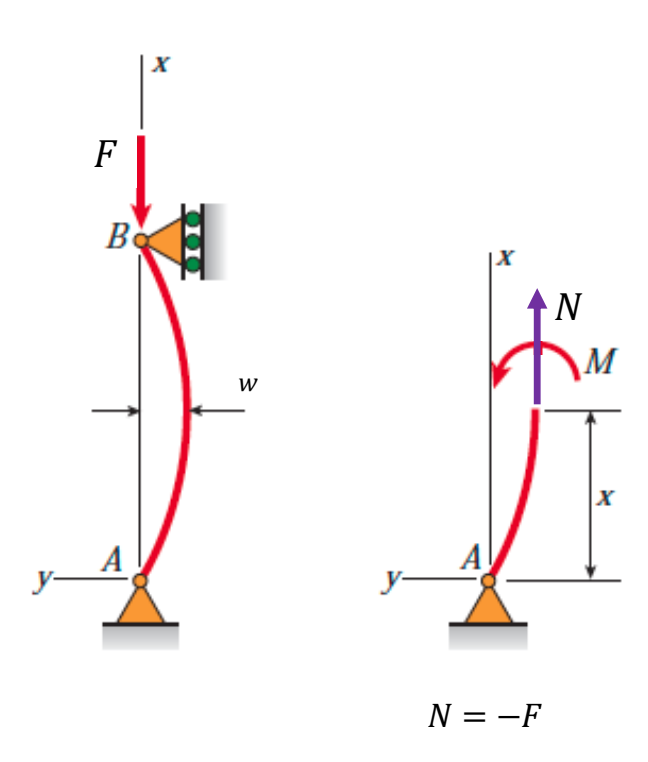






Pour des poutre non-encastrées (pinned-pinned). Force centrées

■ Nous pouvons dériver le modèle Euler pour la force critique de flambage en utilisant la méthode des sections (couper la poutre).



$$M_z(x) = -F w(x)$$
 !!  $M(x)$  dépend de  $w(x)$  !!

$$\frac{d^2w(x)}{dx^2} = \frac{M(x)}{EI} = -\frac{F}{EI}w(x)$$

$$w(x) = C_1 \cdot \sin\left(\sqrt{\frac{F}{EI}}x\right) + C_2 \cdot \cos\left(\sqrt{\frac{F}{EI}}x\right)$$

$$w(x) = C_1 \cdot \sin\left(\sqrt{\frac{F}{EI}}x\right) + C_2 \cdot \cos\left(\sqrt{\frac{F}{EI}}x\right)$$

#### Conditions aux bord

1- 
$$w(0) = 0 \rightarrow C_2 = 0$$
,  

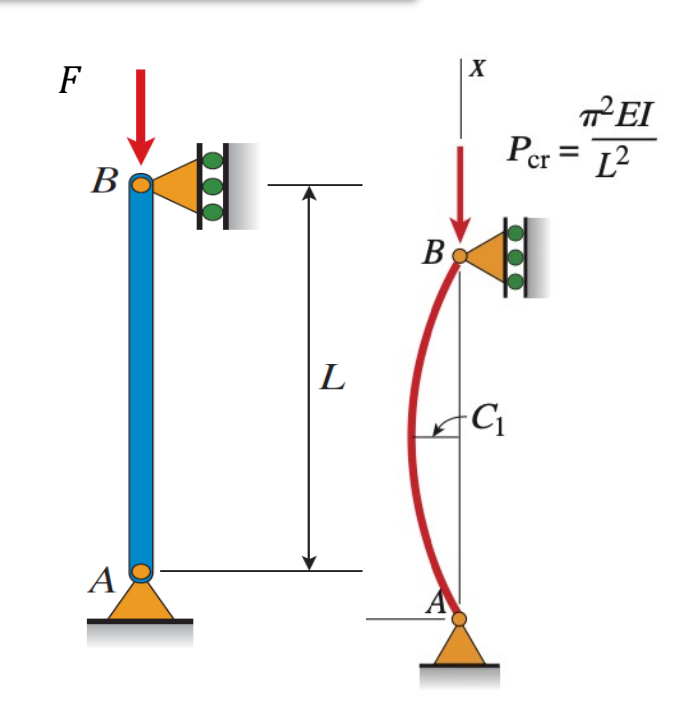
$$w(x) = C_1 \cdot sin\left(\sqrt{\frac{F}{EI}}x\right)$$

$$2-w(L) = 0$$

$$\rightarrow C_1 Sin\left(\sqrt{\frac{F}{EI}}L\right) = 0$$

- Soit  $C_1 = 0$ , et la poutre reste droite w(x)=0

-Soit 
$$\sqrt{\frac{F}{EI}}L = n\pi$$
 et  $w(x) = C_1 \cdot \sin\left(\sqrt{\frac{F}{EI}}x\right)$ 



$$F_{cr} = \left(\frac{n\pi}{L}\right)^2 EI$$

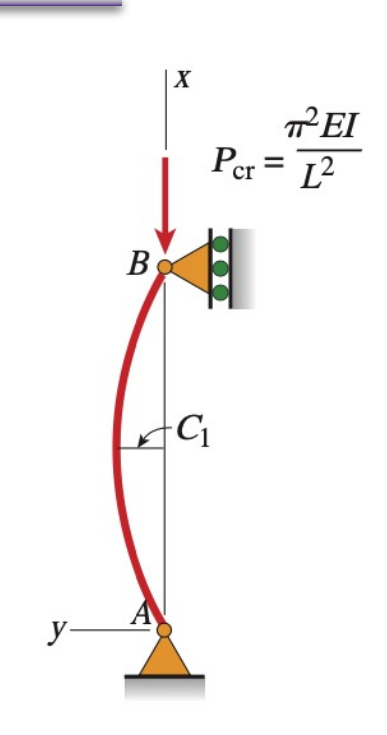
$$F_{cr} = \left(\frac{n\pi}{L}\right)^2 EI$$

$$F_{cr} = \left(\frac{n\pi}{L}\right)^2 EI \qquad w(x) = C_1 \cdot \sin\left(\sqrt{\frac{F}{EI}}x\right)$$

Si  $F < F_{crit}$ ,  $C_1 = 0$  et la poutre sera droite

Si  $F = \left(\frac{n\pi}{L}\right)^2 EI$  la poutre se déformera

Et si 
$$F > \left(\frac{\pi}{L}\right)^2 EI$$
 ????



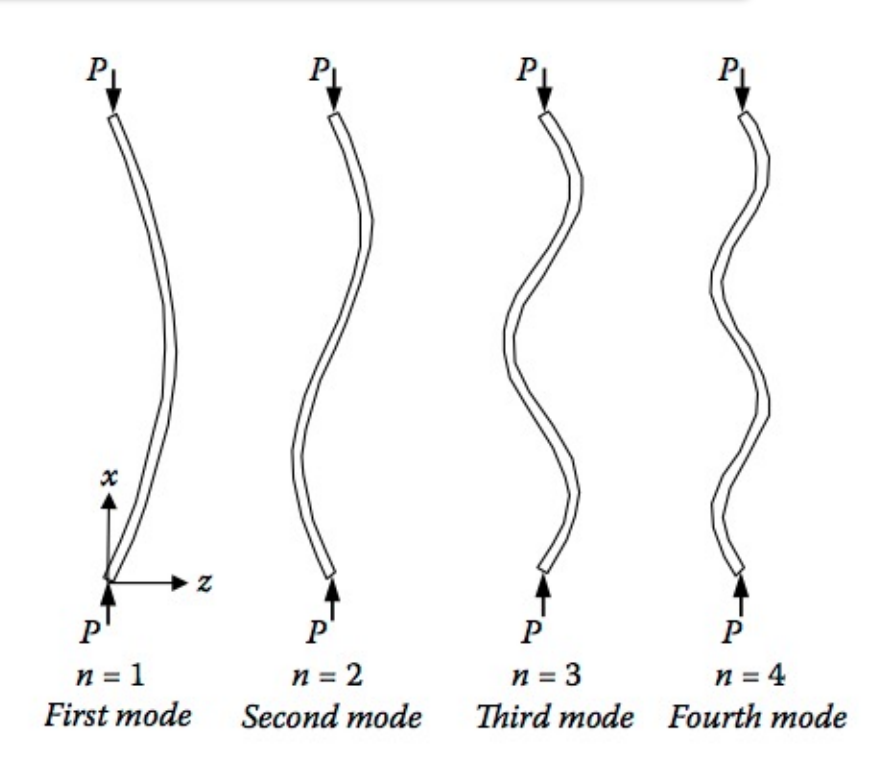
Nous ne connaissons pas  $C_1$ : nous savons que la poutre se déforme, mais pas encore de combien. C1 peut être négatif

(mais voir slide 16 et 356)

- L'équation différentielle comporte une infinité de solutions
- Il en résulte plusieurs modes de flambage
- On ne peut atteindre les modes n>1 que si des supports bloquent certains modes

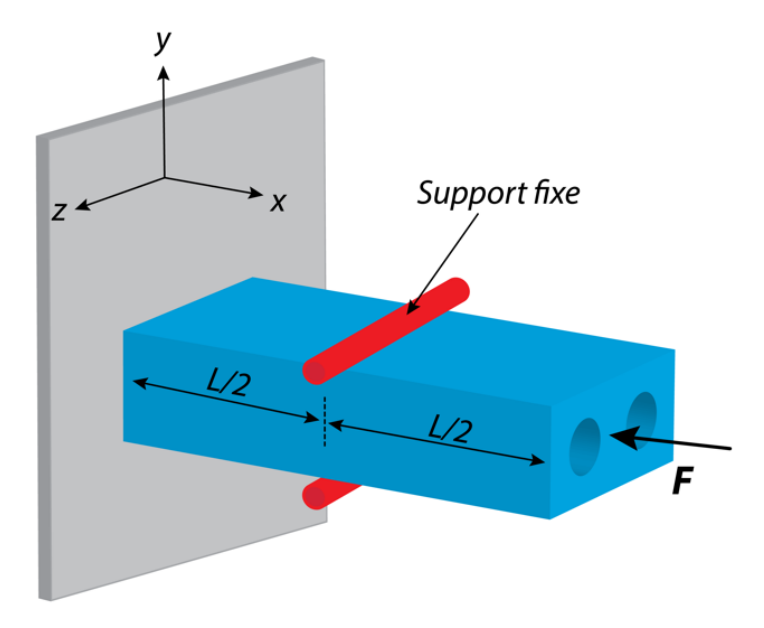
$$F_{cr} = \left(\frac{n\pi}{L}\right)^2 EI$$

$$\sigma_{cr} = \left(\frac{n\pi}{L}\right)^2 \frac{EI}{A}$$



$$F_1 = \left(\frac{\pi}{L}\right)^2 EI < F_2 = \left(\frac{2\pi}{L}\right)^2 EI < F_3 = \left(\frac{3\pi}{L}\right)^2 EI < F_4 = \left(\frac{4\pi}{L}\right)^2 EI$$

## Exemple de modes de flambage



$$F_{cr} = \left(\frac{n\pi}{L}\right)^2 EI$$

- Le support rouge bloque le mode n=1 selon la direction y, mais permet n=2. (selon y, donc I<sub>z</sub>)
- Le support rouge ne bloque pas le mode n=1 selon la direction z, n=1 est permis. (selon z, donc I<sub>V</sub>)

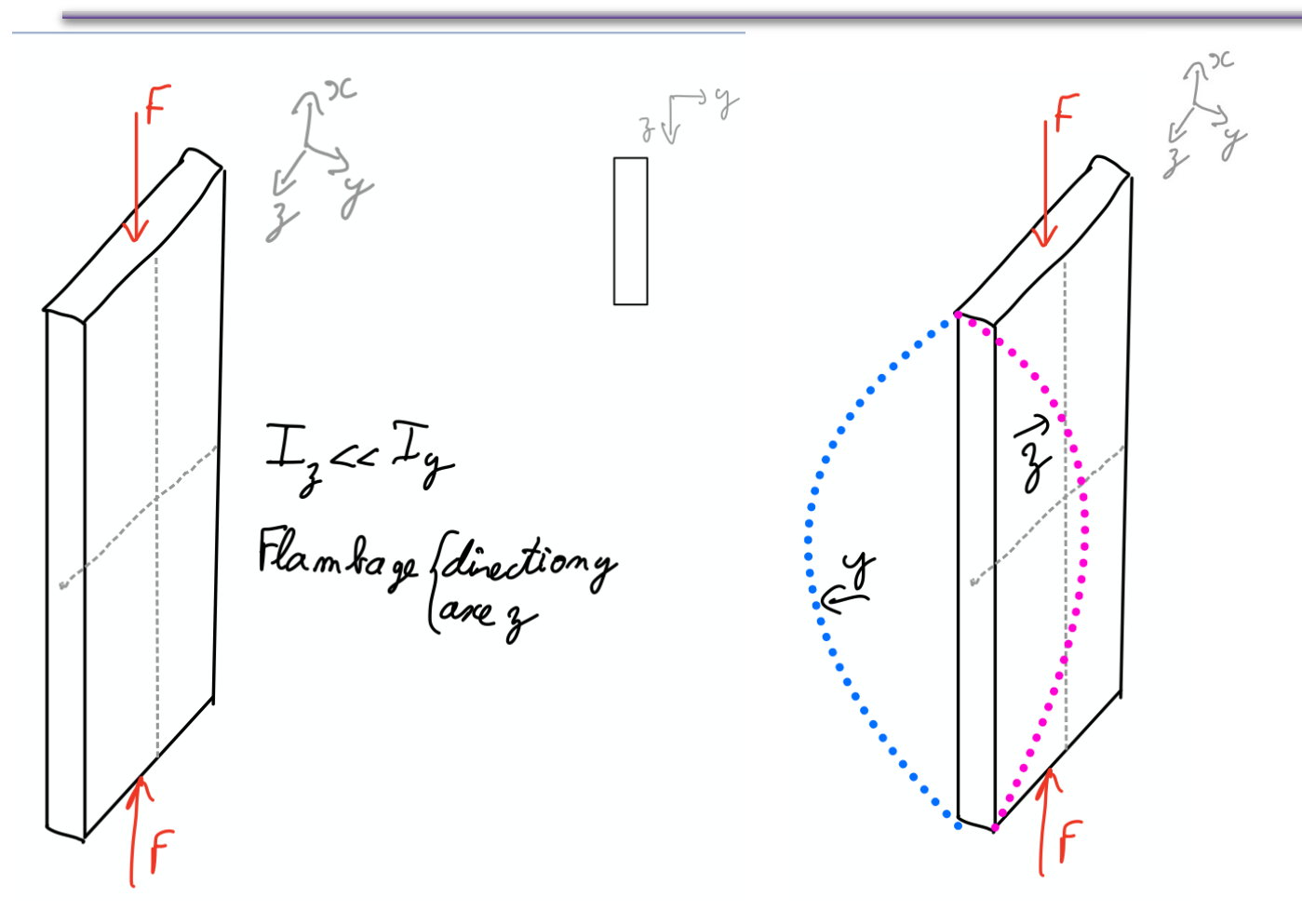


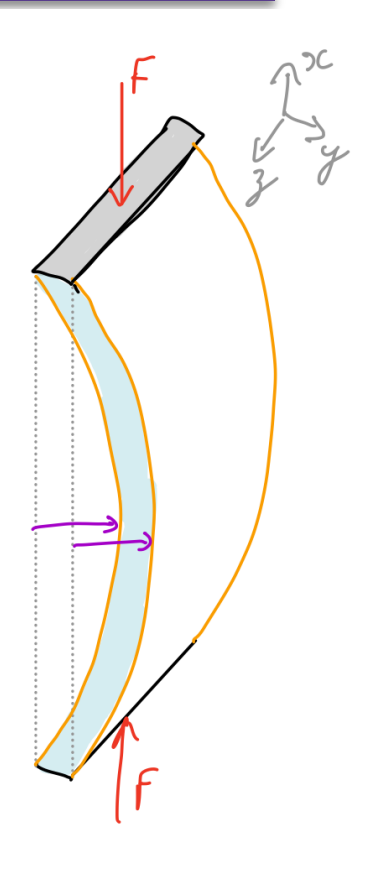


## Quel Axe de flambage?

$$F_{cr} = \left(\frac{n\pi}{L}\right)^2 E I_{z-ou-y}$$

La poutre pliera selon l'axe avec le plus petit I: il faut comparer  $I_z$  et  $I_y$ 

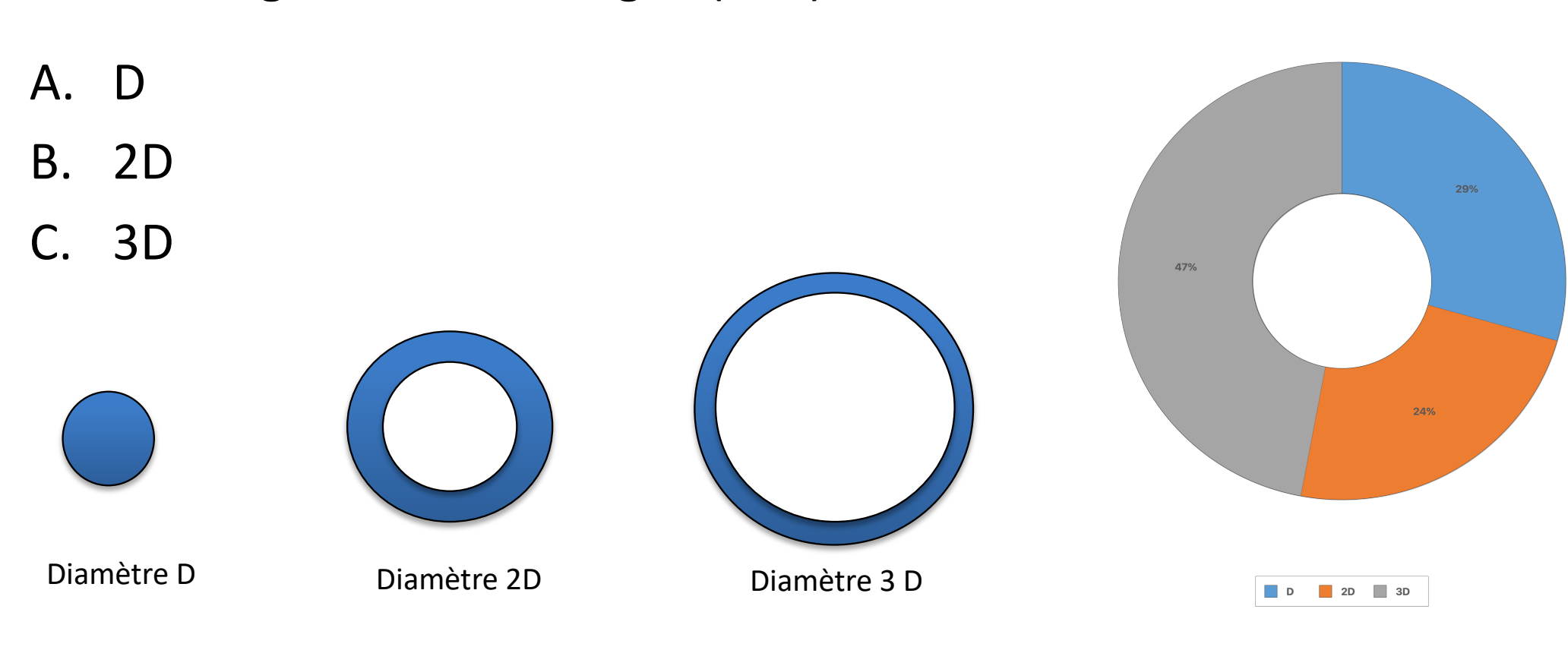




- flèche en y, donc  $I_z$
- flèche en z, donc  $I_y$

# Quelle poutre supportera la plus grande charge avant flambage? (n=1)

$$F_{cr} = \left(\frac{n\pi}{L}\right)^2 EI$$

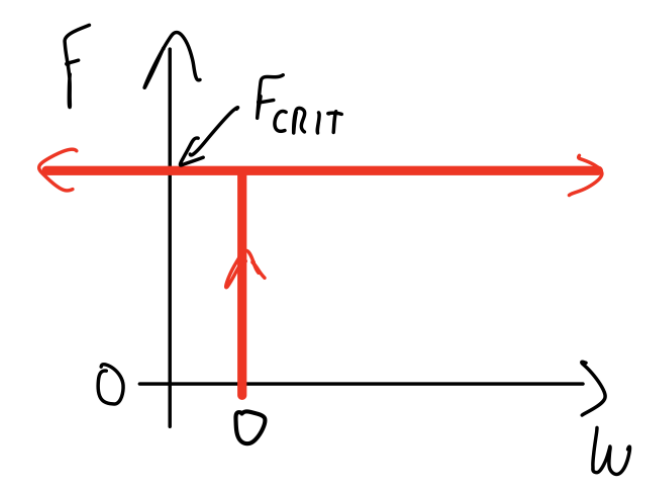


Mêmes section A, mêmes longueur L

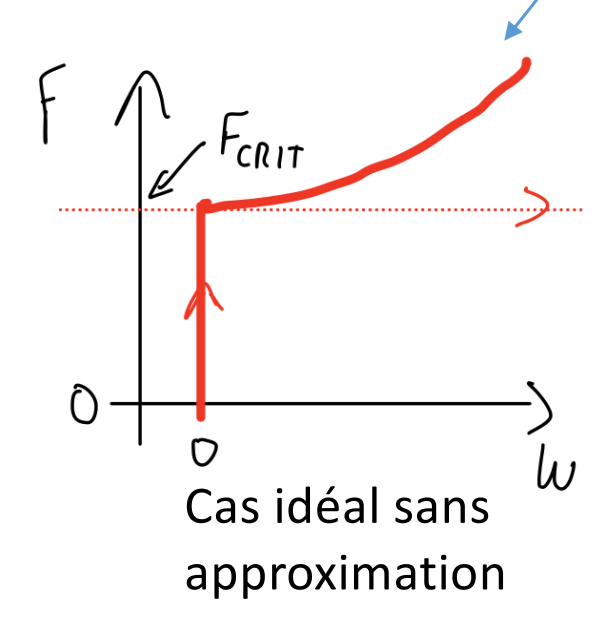
# Que vaut $C_1$ ?

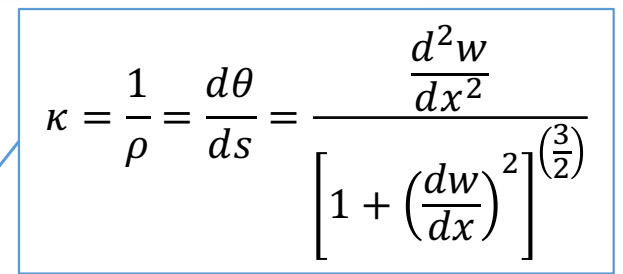
$$w(x) = C_1 \cdot \sin\left(\sqrt{\frac{F}{EI}}x\right)$$

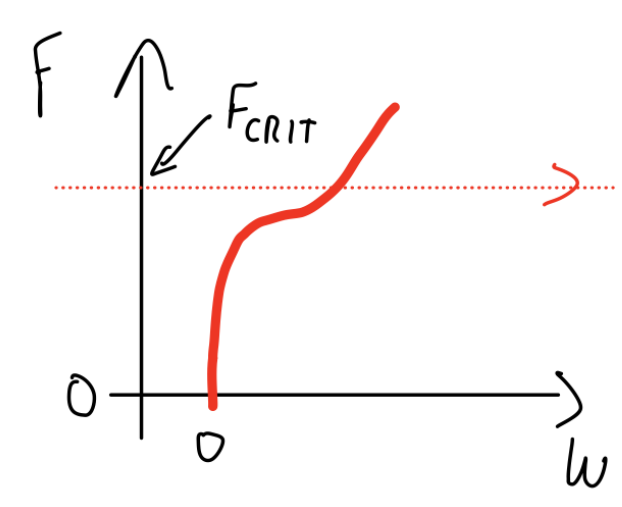
- Notre analyse était limitée aux petits déplacements, car nous avons utilisé l'approximation de  $\kappa = w''$  pour la courbure
- Avec cette simplification, C<sub>1</sub> est indéfini



Cas idéal simplifié







Cas poutre non-idéale

## Flambage - formule d'Euler

■ Contrainte et charge critiques: Formule d'Euler (1744) pour le flambage:

$$F_{cr} = \left(\frac{n\pi}{L}\right)^2 EI \qquad \rightarrow \qquad \sigma_{crit} = \pi^2 E \left(\frac{nr}{L}\right)^2; \qquad r^2 = \frac{I}{A}$$
 Souvent  $n = 1$ 

- $\Box r = \sqrt{I/A}$ : Rayon de Giration (*Radius of gyration*) en [m]. A = section de la poutre
- $\Box \left(\frac{L}{r}\right)$ : Coefficient d'élancement (*Slenderness ratio*). Sans unités
- Flèche de la poutre flambée:

$$w(x) = C_1 \cdot \sin\left(\sqrt{\frac{F}{EI}}x\right)$$

- Attention: pour une force selon x, la poutre peut fléchir selon y ou selon z. C'est autour de l'axe avec le plus petit moment d'inertie qu'il y aura flambage.
- Le moment d'inertie ( $l_y$  ou  $l_z$ ) doit donc être choisi pour « plier » autour de l'axe de flambage z ou selon y.

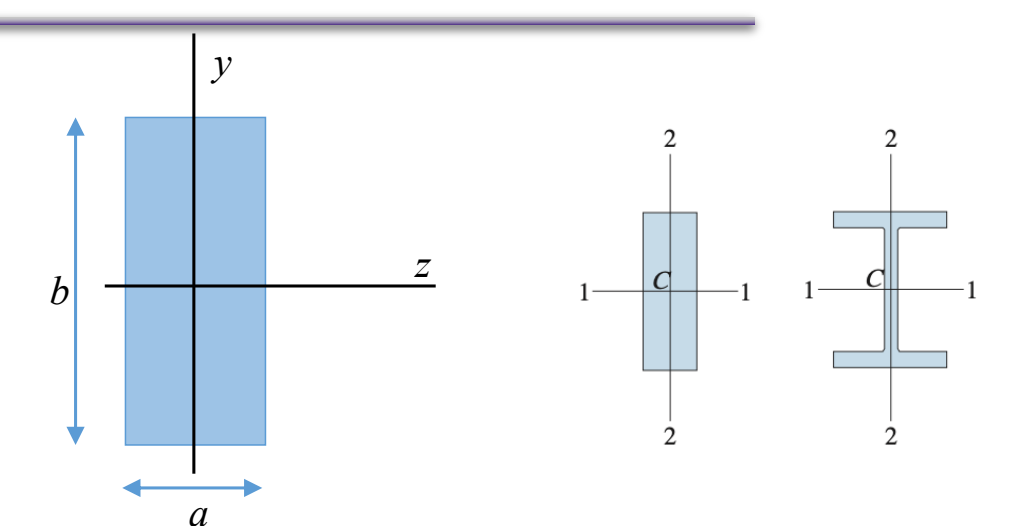
#### Rayon de giration r

 $r \sim$  épaisseur de la poutre dans le sens du mouvement

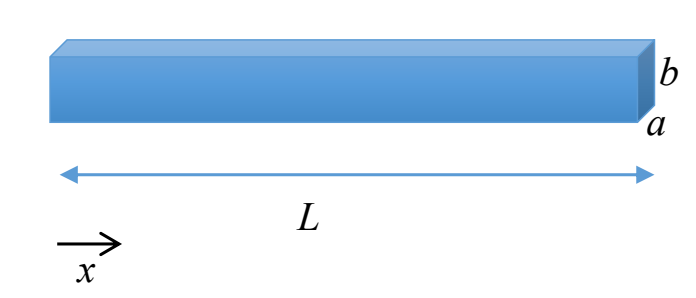
$$r^2 = \frac{I}{A}$$

$$\Box I_Z = \frac{ab^3}{12}$$
 et donc  $r_Z = \frac{b}{2\sqrt{3}}$ 

$$\Box I_y = \frac{ba^3}{12} \text{ et donc } r_y = \frac{a}{2\sqrt{3}}$$



- $\blacksquare$   $\left(\frac{L}{r}\right)$ : Coefficient d'élancement
  - $\ \square$  prendre  $I_x$  ou  $I_y$  qui correspond au bon axe

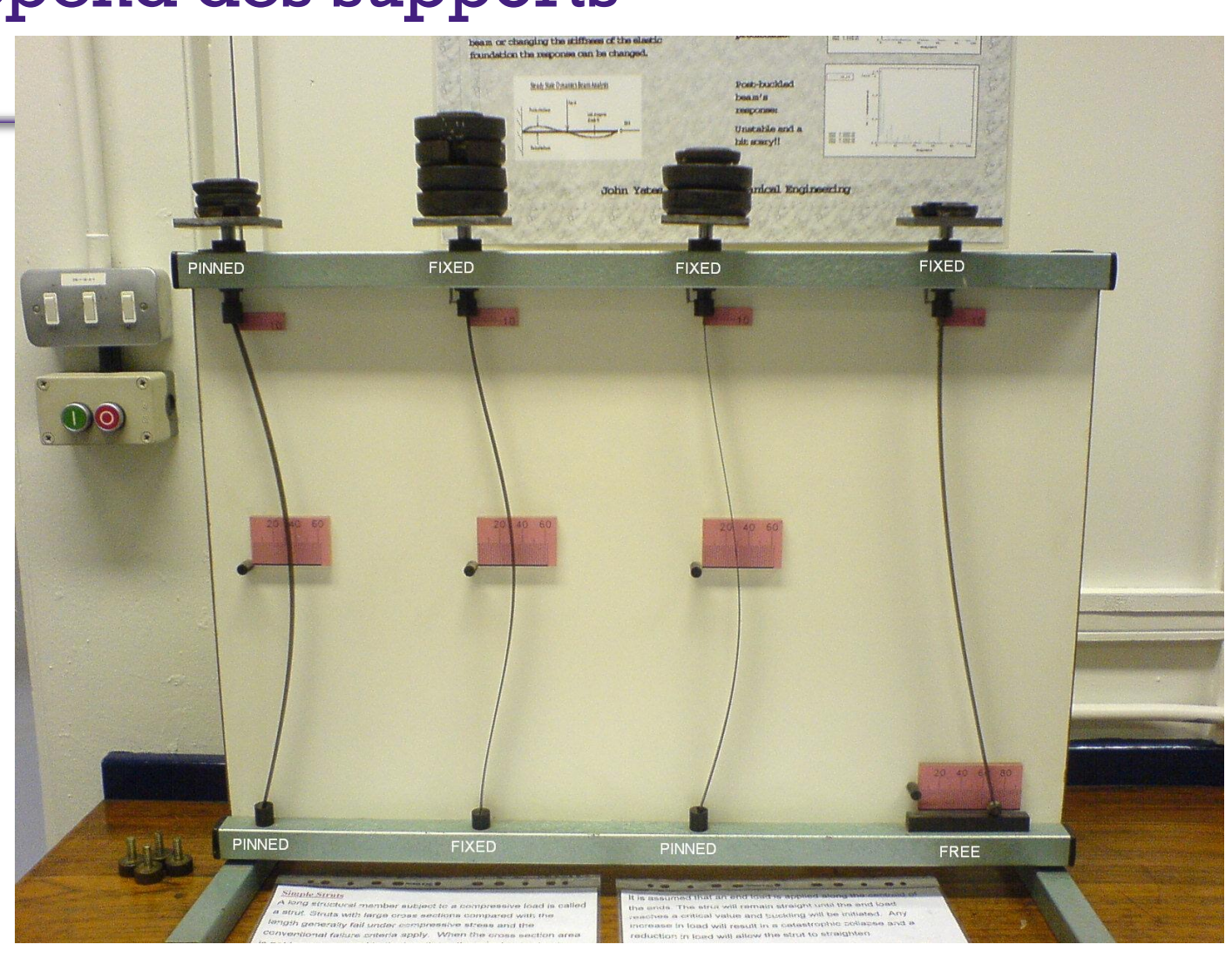




## Flambage: $F_{cr}$ dépend des supports

Pinned = pivot Fixed = encastrée Free = libre

Par Grahams Child —
http://en.wikipedia.org/wiki/Image:Buckledmodel.JPG
CC BY-SA 3.0,
https://commons.wikimedia.org/w/index.php?curid=1368026



## Flambage: dépend des supports

#### Longueur effective

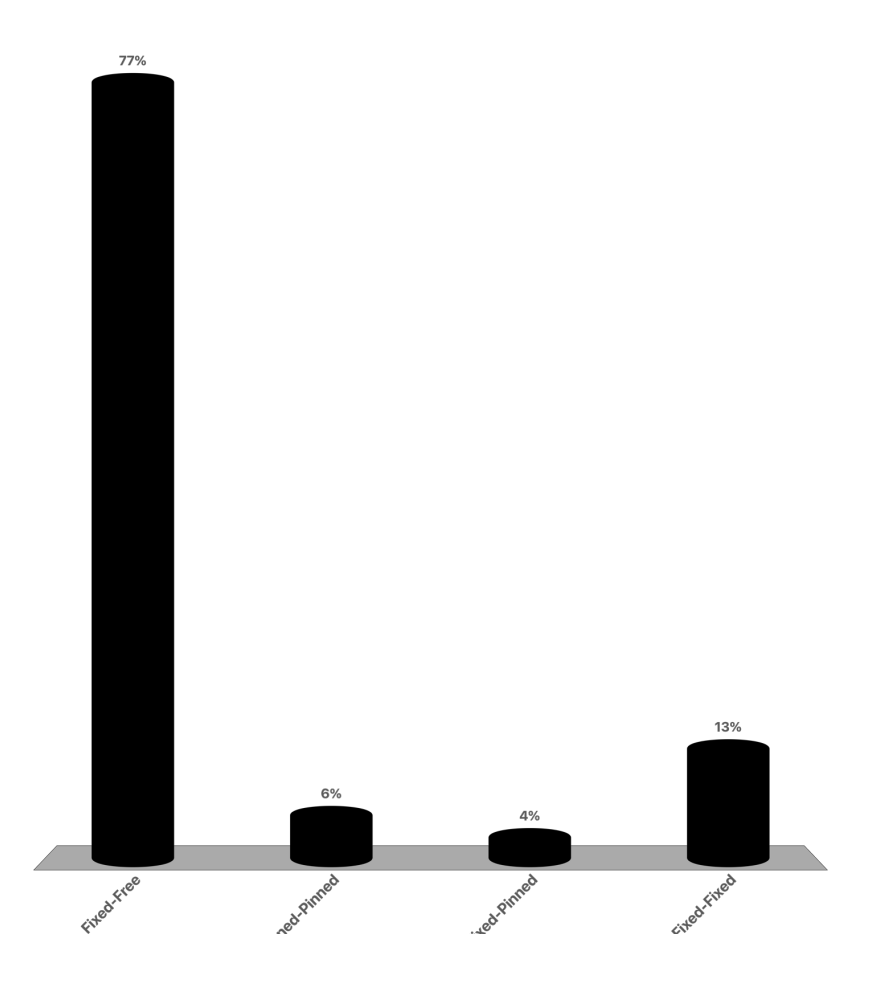
 $\blacksquare$  La formule d'Euler peut être généralisée vers d'autres types de supports en utilisant le concept de la longueur effective  $L_{\it eff}$ 

$$F_{cr} = \left(\frac{\pi}{L_{eff}}\right)^2 EI \quad \rightarrow \quad \sigma_{crit} = \pi^2 E \left(\frac{r}{L_{eff}}\right)^2$$

(a) Pinned-pinned column	(b) Fixed-free column	(c) Fixed-fixed column	(d) Fixed-pinned column
$P_{\rm cr} = \frac{\pi^2 EI}{L^2}$	$P_{\rm er} = \frac{\pi^2 EI}{4L^2}$	$P_{\rm cr} = \frac{4\pi^2 EI}{L^2}$	$P_{\rm cr} = \frac{2.046 \ \pi^2 EI}{L^2}$
		$L_e$	
$L_e = L$	$L_e = 2L$	$L_e = 0.5L$	$L_e = 0.699L$

Pinned = pivot Fixed = encastrée Free = libre 4 poutres, mêmes dimensions, différents supports. On augment doucement la charge. Laquelle flambera en premier?

- A. Fixed-Free
- B. Pinned-Pinned
- c. Fixed-Pinned
- D. Fixed-Fixed



## Semaine 10 – partie 2 Objectifs d'apprentissage

- Prédire si une poutre va se casser par:
  - i) rupture de matériau

ou

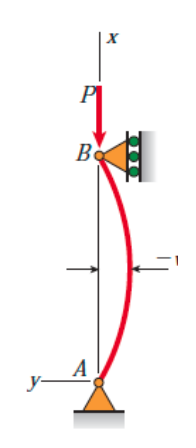
- ii) par flambage (=structurelle)
- Choisir les dimensions d'une poutre pour avoir un facteur de sécurité donné par rapport aux deux modes de défaillance

#### Défaillance

#### Matériau ou Flambage?

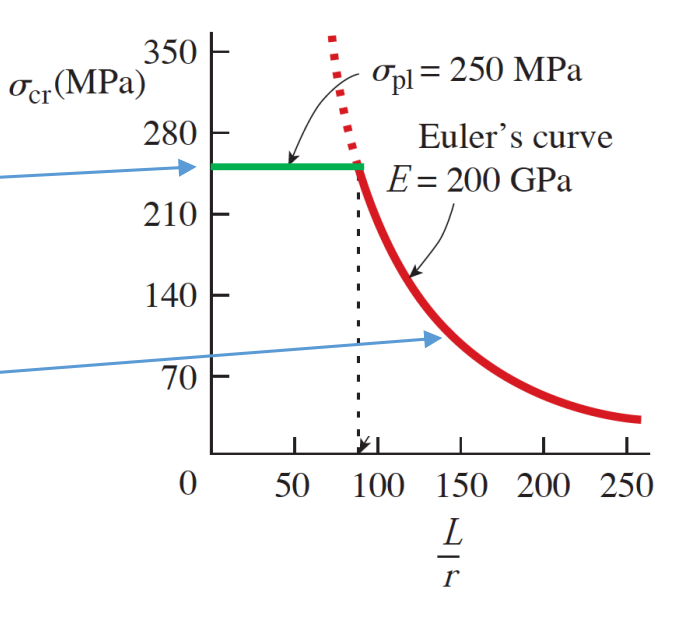
- Sous une charge, un poutre ne tient plus la charge car soit:
  - $\ \square$  on dépasse la contrainte max pour rupture du matériau  $\sigma_{rupture}$  (ne dépend pas de  $\it L$ , mais dépend de  $\it A$ )
  - $\ \square$  On dépasse la contrainte max pour flambage  $\sigma_{flambage}$  (dépend de L et de I). La poutre se plie (puis peut-être se casse)

Graph of Euler's curve [from Eq. (11-19)] for structural steel with E=200 GPa and  $\sigma_{\rm pl}=250$  MPa

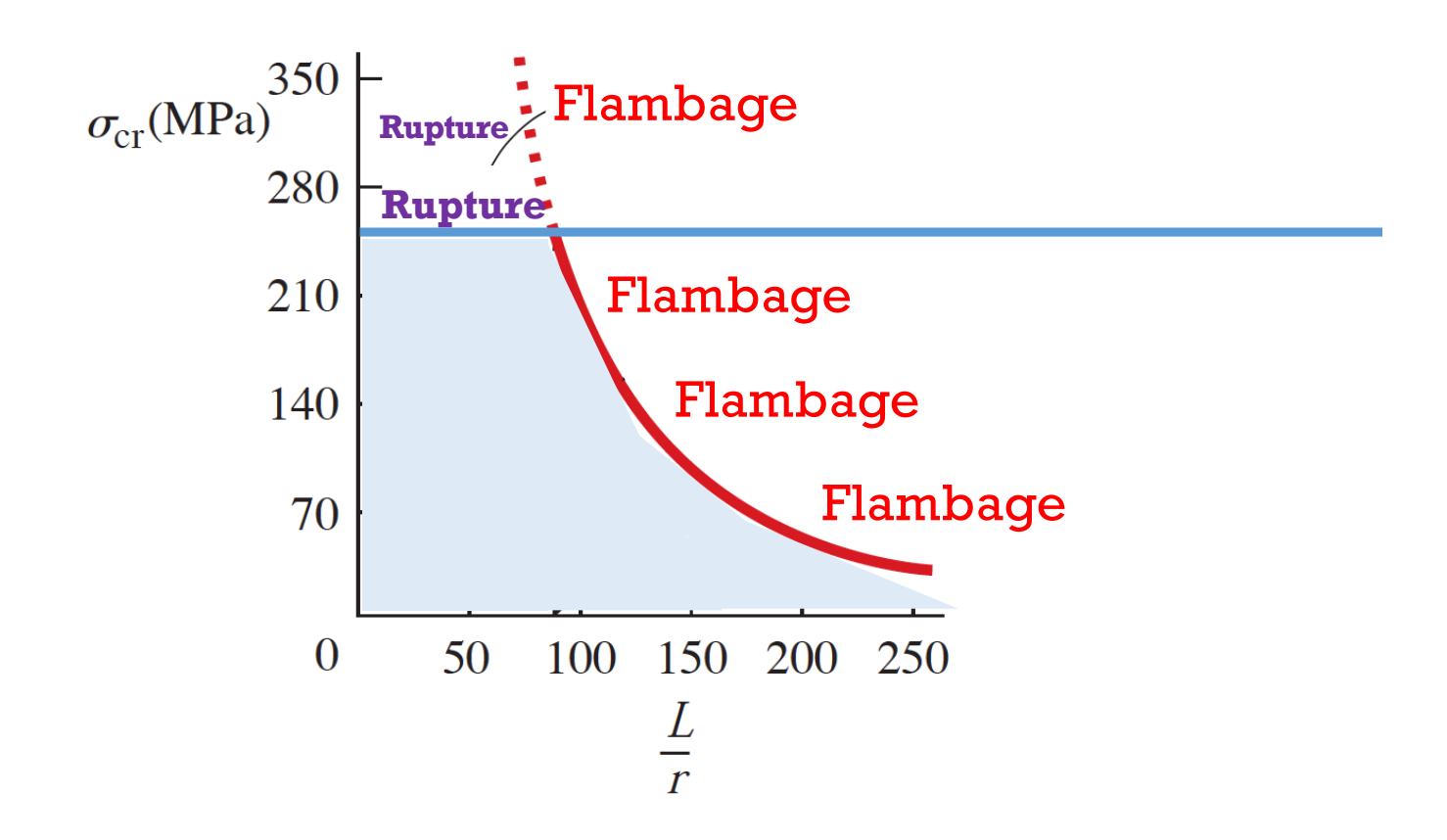


 $\sigma_{rupture}$  est une propriété du matériau

$$\sigma_{flambage} = \frac{\left(\frac{n\pi}{L}\right)^2 EI}{A} \sim \pi^2 E \left(\frac{r}{L}\right)^2$$

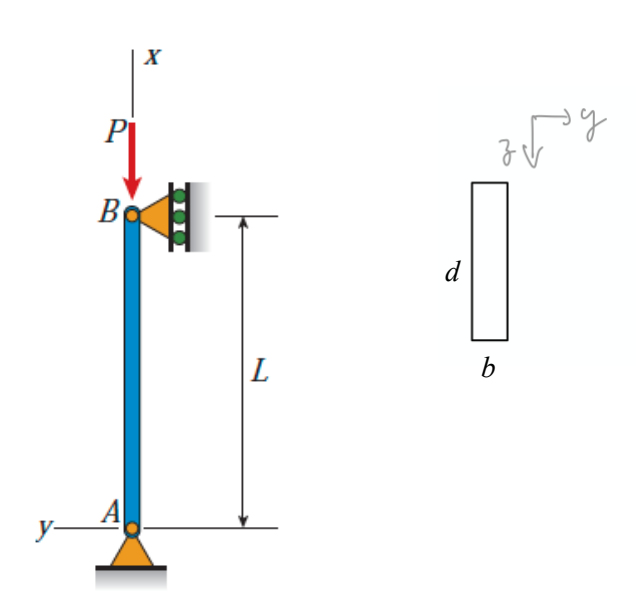


(Gere and Goodno chapitre 11)



Flambage et facteur de sécurité.

- Poutre de section rectangulaire, support "Pinned-Pinned" (pivot-pivot)
- b = 12 cm, d = 50 cm, E = 200 GPa,  $\sigma_{Yield} = 250$  MPa.
  - a) Pour une longueur L = 5 m, quelle est la charge max axiale pour un facteur de sécurité SF=2?
  - b) Si la colonne est soumise à une charge axiale F=79 kN, quelle est la longueur maximale, pour SF=2?
  - c) Pour les deux cas, quelle sera la direction de la flexion (direction axe y ou z)?



Flambage et facteur de sécurité.

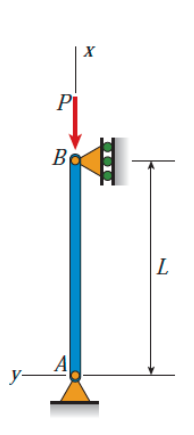
#### a) L=5 m. Trouver Charge $F_{max}$ : Défaillance du matériau ou défaillance structurelle?

#### Critère Défaillance du matériau:

$$SF = 2 = \frac{\sigma_{défaill}}{\sigma_{x,max}}$$
 c'est à dire  $\sigma_{x,max} = \frac{\sigma_{défaill}}{2}$ 

$$F_{max, Materiau} = \sigma_{x, max} A = \frac{\sigma_{défaill}}{2} A = 7.5 \text{ MN}$$

 $F_{max,\,Materiau}$  ne dépend pas de L



#### Critère Défaillance structurelle (flambage):

$$SF = 2 = \frac{F_{Crit,flamb}}{F_{max,flamb}}$$

$$F_{max, Flamb} = \frac{F_{crit, Flamb}}{2}$$

Flambage et facteur de sécurité.

$$F_{max,Flamb} = \frac{1}{2} \frac{\pi^2}{L^2} EI$$
 (premier mode)  $I_Z = \frac{b^3 d}{12}$   $I_Z = \frac{b^3 d}{12}$   $I_Y = \frac{d^3 b}{12}$   $I_Y = \frac{d^3 b}{12}$ 

plus facile de plier selon axe z que selon axe y ( car  $I_z < I_y$  vu que b < d) donc on utilise  $I_z = \frac{b^3 d}{12}$  car flexion de flambage selon y

On trouve  $F_{max, Buckling} < F_{max, Matériau}$  2.84 MN < 7.5 MN

donc défaillance par flambage et non par rupture pour L=5 m, et charge axiale max de 2.84 MN

Flambage et facteur de sécurité.

#### b) longueur max de la poutre pour F=79 kN?

79 kN << 7.5 MN, donc ce sera une défaillance par flambage et non par rupture du matériau

Défaillance structurelle (flambage): 
$$SF = 2 = \frac{F_{cr,flambage}}{F_{ext}} \rightarrow F_{ext} = \frac{\pi^2}{2L_{crit}^2}EI$$

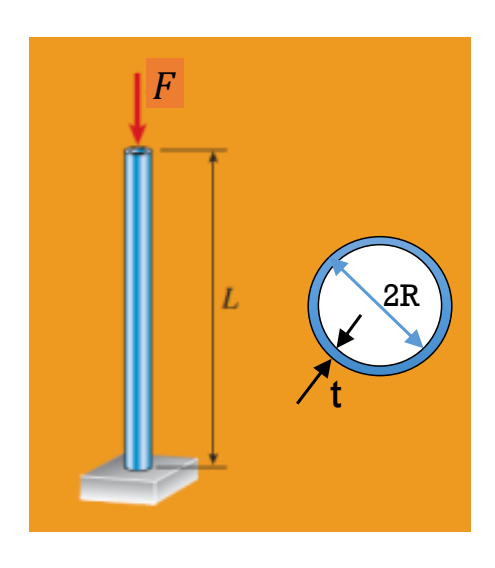
$$L_{crit} = \sqrt{\pi^2 \frac{EI}{2F}} = \sqrt{\pi^2 \frac{2 \cdot 12^3 \cdot 50 \cdot 10^3}{2 \cdot 12 \cdot 79 \cdot 10^3}} \approx 15 \text{ m}$$

7.7 MN pour rupture 2.84 MN flambage à 5 m 0.079 MN flambage à 15 m

- Dans les deux cas (a et b), la structure se casse par flambage (et non par rupture)
- défaillance en flambage pour une force qui est 100x plus petite que force pour rupture!
- La flexion sera perpendiculaire à la dimension la plus mince de la poutre, ici b et non d.

#### Flambage et facteur de sécurité

- Cylindre creux, conditions "encastré libre" (= "fixed-free"). Donc  $L_{eff} = 2L$
- R = 7.07 cm, L = 3.1416 m, E = 200 GPa,  $\sigma_{v,max} = 250$  MPa
- Trouver l'épaisseur minimum  $t_{min}$  de la paroi pour supporter une charge de F=250 kN avec un facteur de sécurité SF=2



on considère les 2 modes de défaillance:

$$SF = \frac{\sigma_{y,max}}{\sigma_{charge}} \ge 2$$
 rupture matériau

$$SF = \frac{\sigma_{cr,flambage}}{\sigma_{charge}} = \frac{F_{crit,flambage}}{F_{charge}} \ge 2$$
 flambage

#### Flambage et facteur de sécurité

#### critère 1:

pas de rupture du matériau sous la charge de 250 kN

$$\sigma_{charge} = \frac{F}{A} = \frac{F}{\pi (R^2 - (R - t)^2)} \approx \frac{F}{2\pi Rt}$$

Pour simplifer les maths, j'ai pris que  $\frac{t}{R} << 1$ Vous pouvez résoudre plus correctement sans cette approximation.

$$SF = \frac{\sigma_{y,max}}{\sigma_{load}} = 2$$

$$\frac{F}{2\pi Rt_{min}} = \frac{\sigma_{y,max}}{2}$$

$$t_{min} = F / \pi R \sigma_{y,max}$$

$$t_{min,rupture} = 4 mm$$

load for fixed F

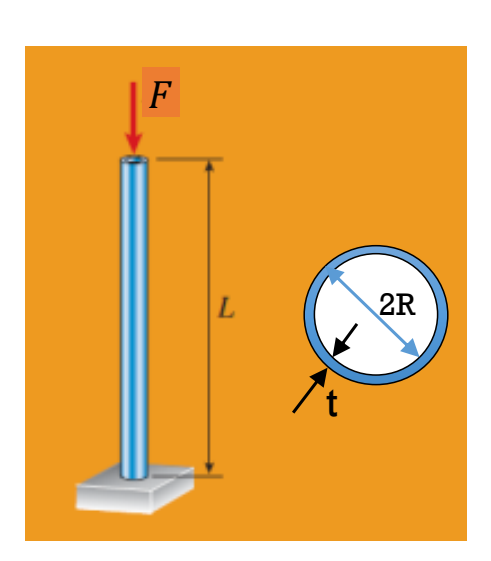
Vyield

Vy/2

think R t

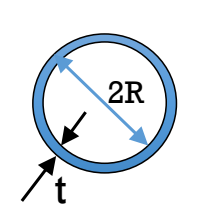
Et en effet  $t \ll R$  avec R = 7.07 cm

Rupture si  $t < t_{\rm min}$ 



## Example F2

#### Flambage et facteur de sécurité



#### critère 2: pas de flambage

$$F_{cr,flambage} = \left(\frac{\pi}{L_{eff}}\right)^2 EI = \frac{\pi^2}{4L^2} E^{\frac{\pi}{4}} (R^4 - (R - t)^4)$$

$$\frac{F_{crit,flambage}}{F_{charge}} \ge 2$$

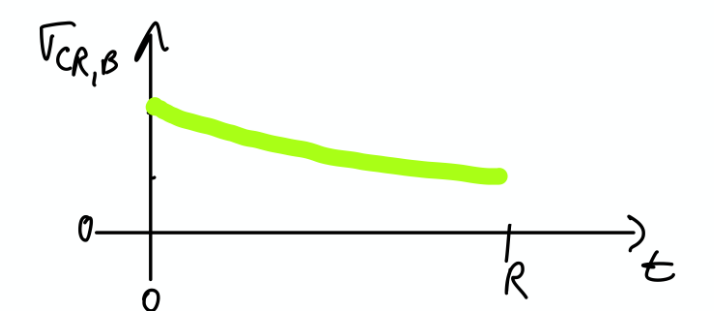
$$\pi^2 \frac{E}{4L^2} \frac{\pi}{4} (R^4 - (R - t)^4) = 2F$$

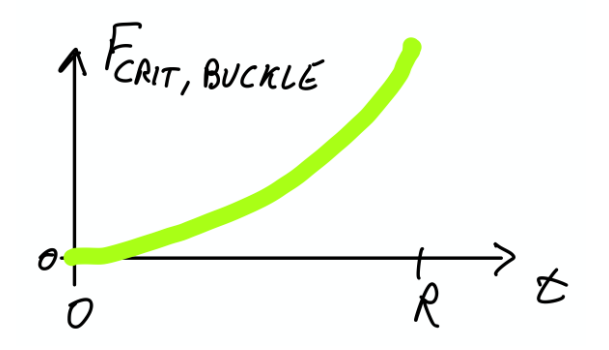
$$t = R - \sqrt[4]{R^4 - \frac{32FL^2}{\pi^3 E}}$$

$$t_{min,flambage} = 11.5 \ mm$$

$$t_{min,rupture} = 4 mm$$

 $t_{min,flambage} > t_{min,rupture}$  il faut donc une paroi plus épaisse que  $11.5~\mathrm{mm}$  pour résister au flambage





on veut que la contrainte critique pour le flambage soit max  $\frac{1}{2}$  de la contrainte due au 250 kN pour assurer de ne pas avoir de flambage.

on s'intéresse donc au ratio  $\frac{\sigma_{charge}}{\sigma_{cr,Flamb}}$  et non  $\frac{\sigma_{y,max}}{\sigma_{cr,Flamb}}$ 

- $\blacksquare$  Une paroi mince peut donner un grand  $I_{\rm z}$  pour une faible section, et donc une grande
- (mais en réalité flambage localisé)

$$r=\sqrt{rac{I}{A}}$$
 Rayon de giration

résistance au flambage

• Pour section circulaire pleine

$$r = \frac{R}{2}$$

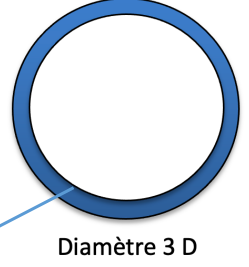
• Pour section circulaire d'épaisseur t<<R  $r=rac{R}{\sqrt{2}}$ 

# Quelle poutre supportera la plus grande charge avant flambage?

- A. D
- B. 2D
- C. 3D







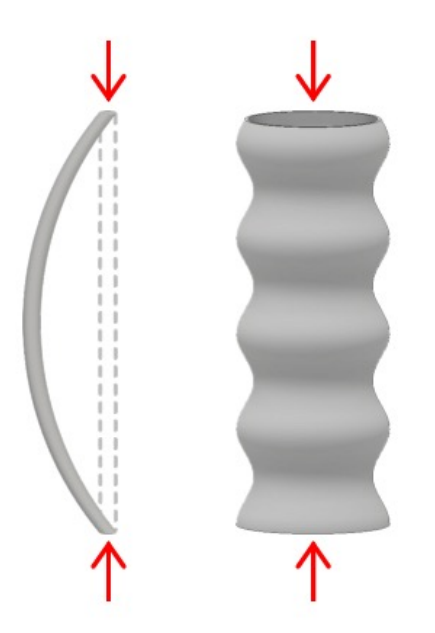
Diamètre D

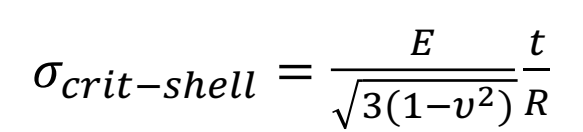
Diamètre 2D

$$\sigma_{flambage} = \frac{\left(\frac{\pi}{L}\right)^2 EI}{A} = \pi^2 E \left(\frac{r}{L}\right)^2$$

## Shell buckling

■ Le flambage est aussi un mode de défaillance pour des structures à paroi mince (« shell »)

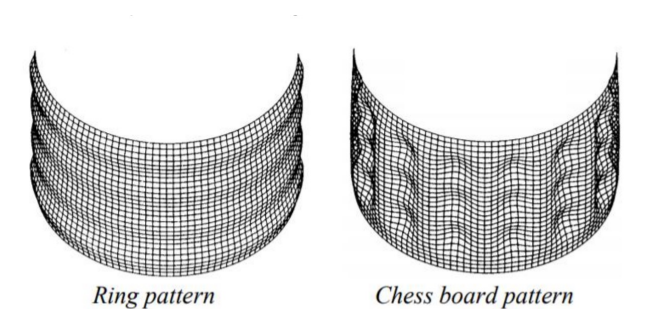


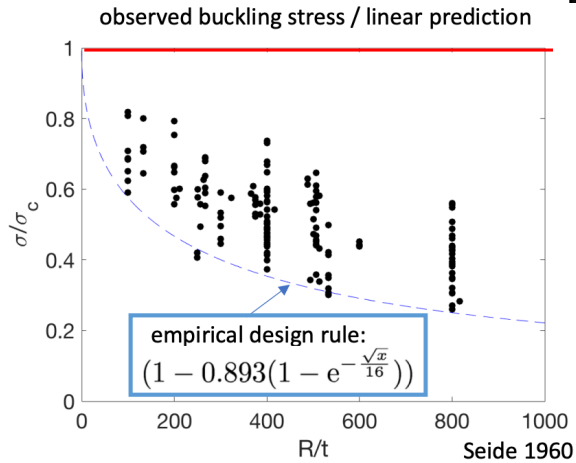


t: épaisseur paroi. R: E: module de Young. v:

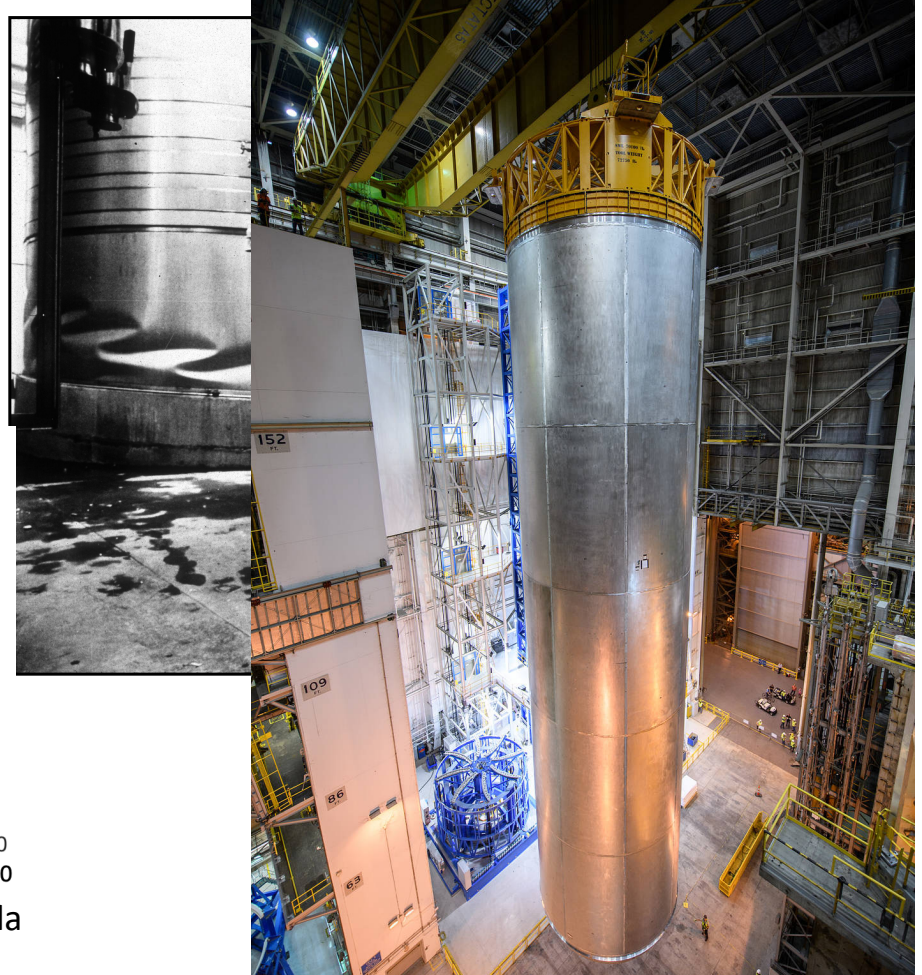
R: rayon du cylindre. v: ratio de Poisson

https://shellbuckling.com/index.php





Petit défauts réduisent beaucoup la contrainte critique pour flambage



# Semaine 10b –partie 3 Objectifs d'apprentissage de cette partie

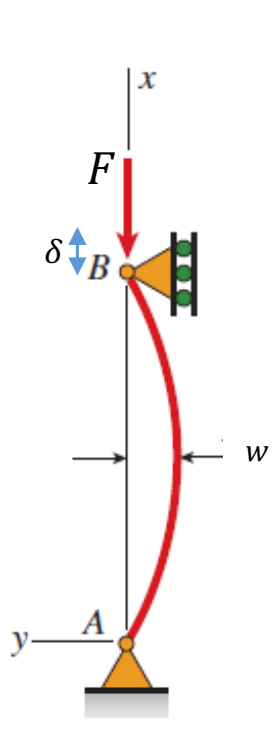
- Flambage- calcul par l'énergie
- Bistabilité de poutres
- Flambage par expansion thermique
- Flambage pour poutre à faible élancement

## Flambage – calcul par l'énergie

L'énergie stockée dans une poutre qui a flambée suite à une charge axiale :

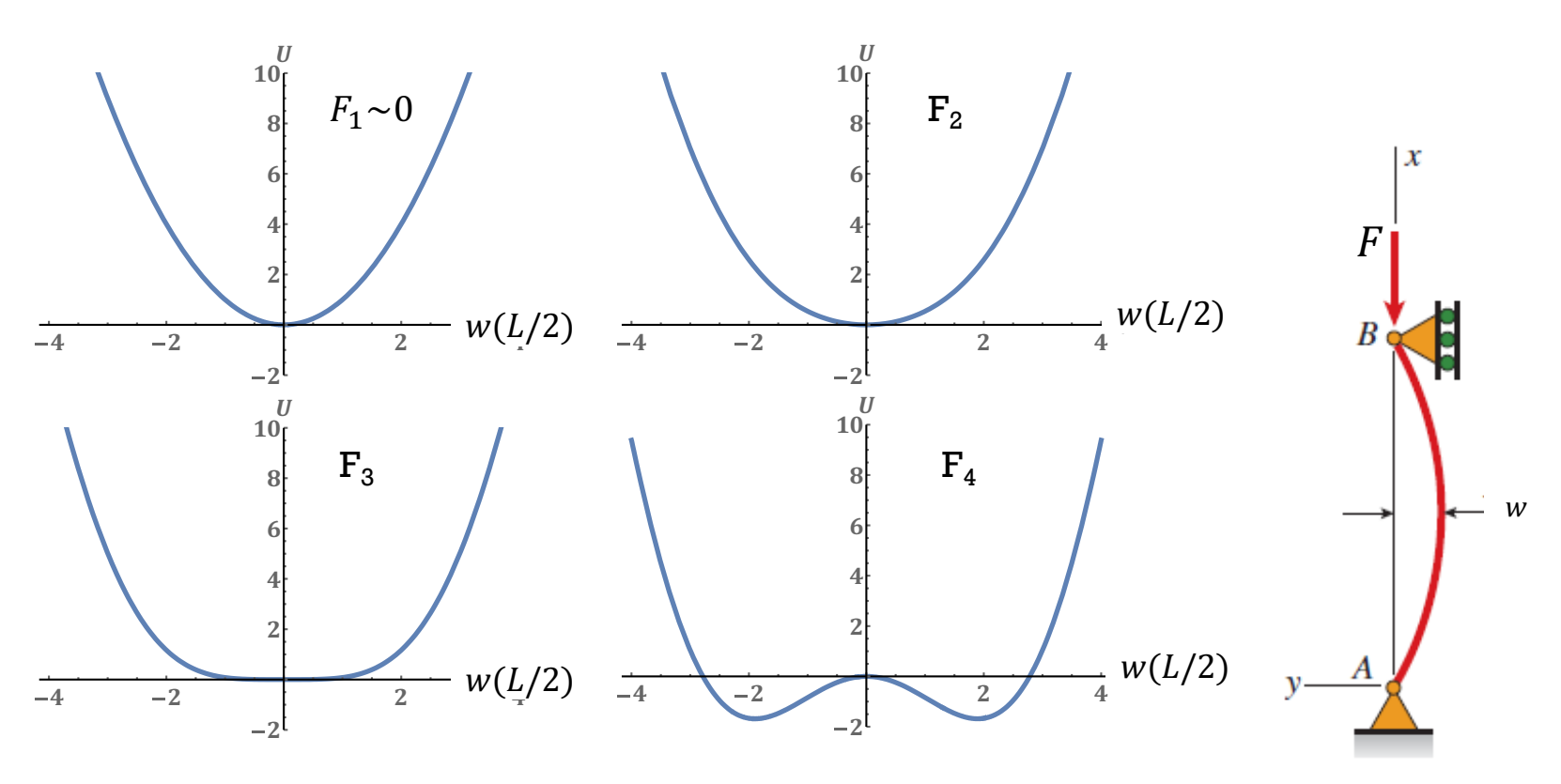
$$U_{tot} = U_{m\acute{e}canique} + U_{charge}$$
$$= \frac{1}{2} \int_{0}^{L} EIw''(x)^{2} dx + F\delta$$

- $\delta$ : déplacement selon x du Point B
- Pour une petite charge F, la situation stable est w=0 et donc  $\delta=0$  (sauf petite déformation due à compression du matériau)
- Lorsque F augmente, w=0 devient un maximum local d'énergie, et des solutions stables apparaissent avec  $\delta>0$  (modes en flambage)
- lacksquare On calcule  $U_{tot}$  et cherche les minima et maxima
- Ça donne les flèches après flambage



## Flambage – calcul par l'énergie

$$U_{tot} = U_{m\acute{e}canique} + U_{charge}$$
$$= \frac{1}{2} \int_{0}^{L} EIw''(x)^{2} dx + F\delta$$

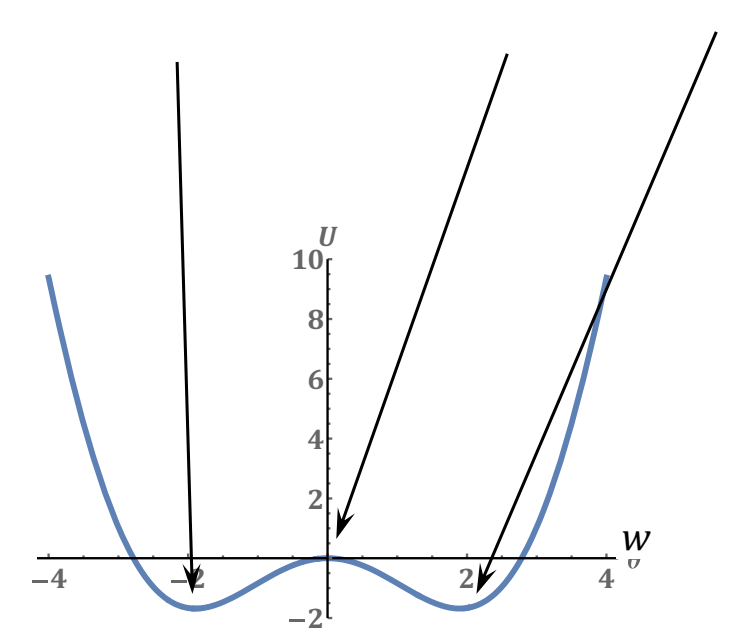


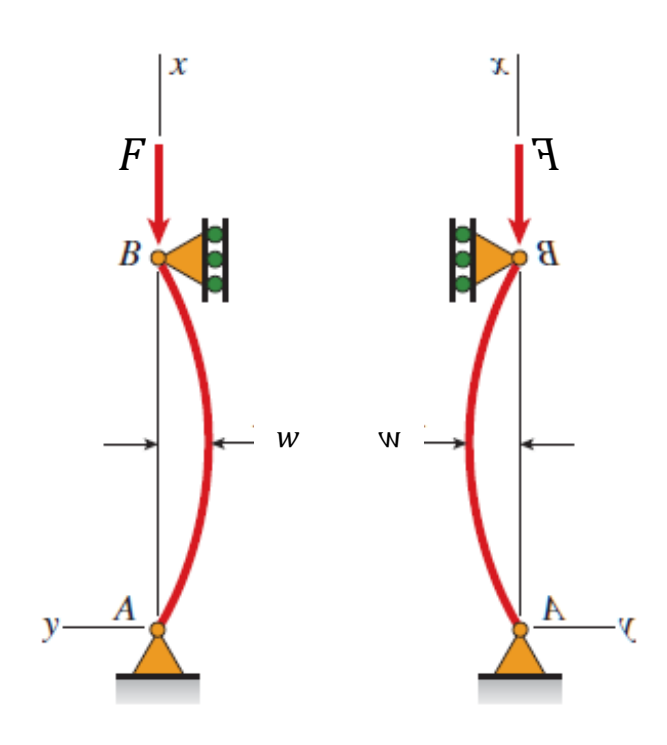
$$F_{sys} = \frac{dE}{dw} \qquad k_{sys} = \frac{dF}{dw}$$

$$F_1 < F_2 < F_3 < F_4$$

## **Bistables**

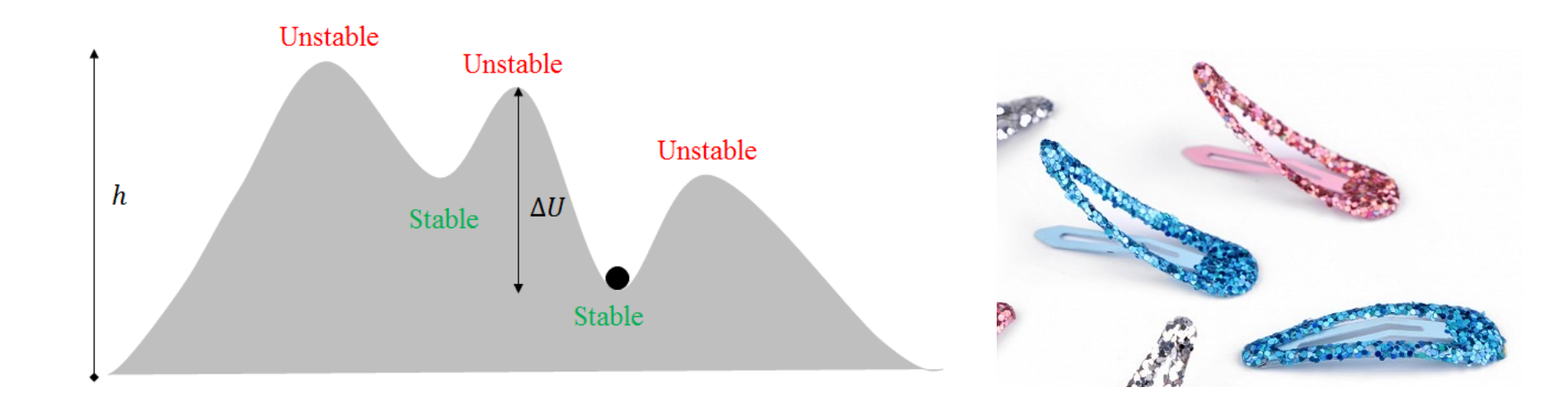
position stable position instable position stable





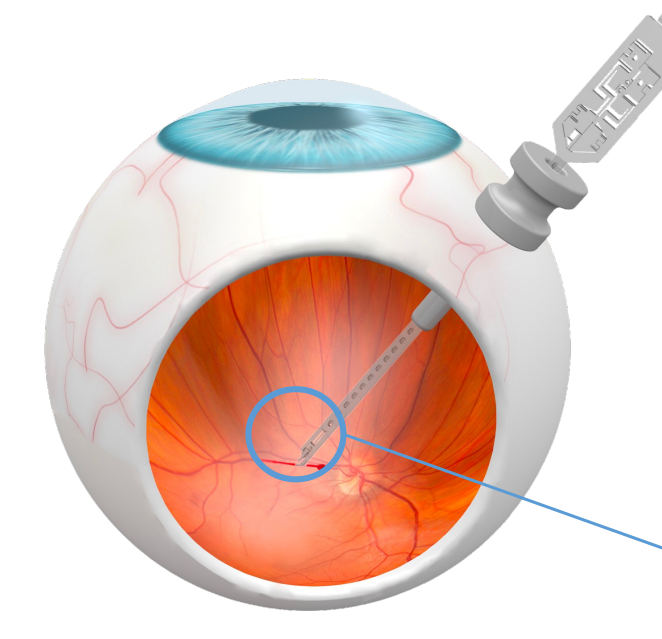
$$F_{sys} = \frac{dE}{dw} \quad k_{sys} = \frac{dF}{dw}$$

## **Bistables**



## Systèmes Bistables

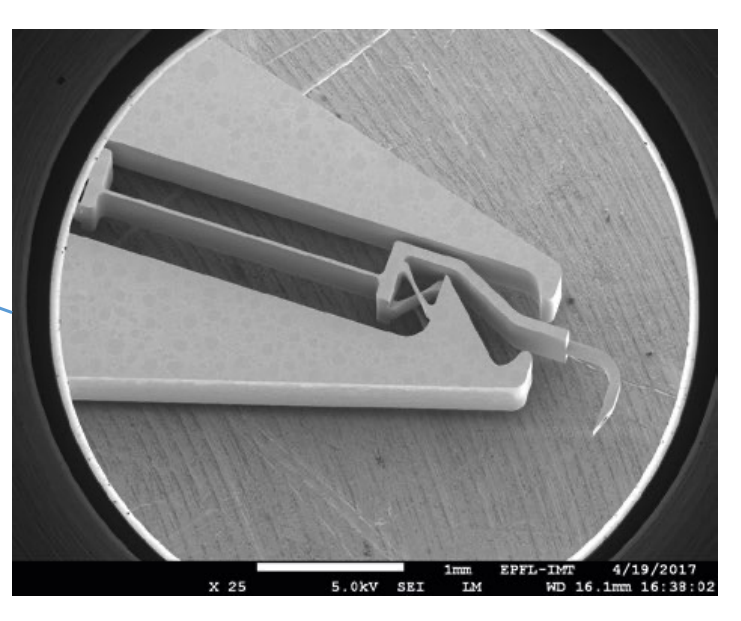
#### Applications médicales:



Un outil qui perce une veine rétinienne pour injecter des produits pour éliminer une occlusion (labos S. Henein et Y. Bellouard)

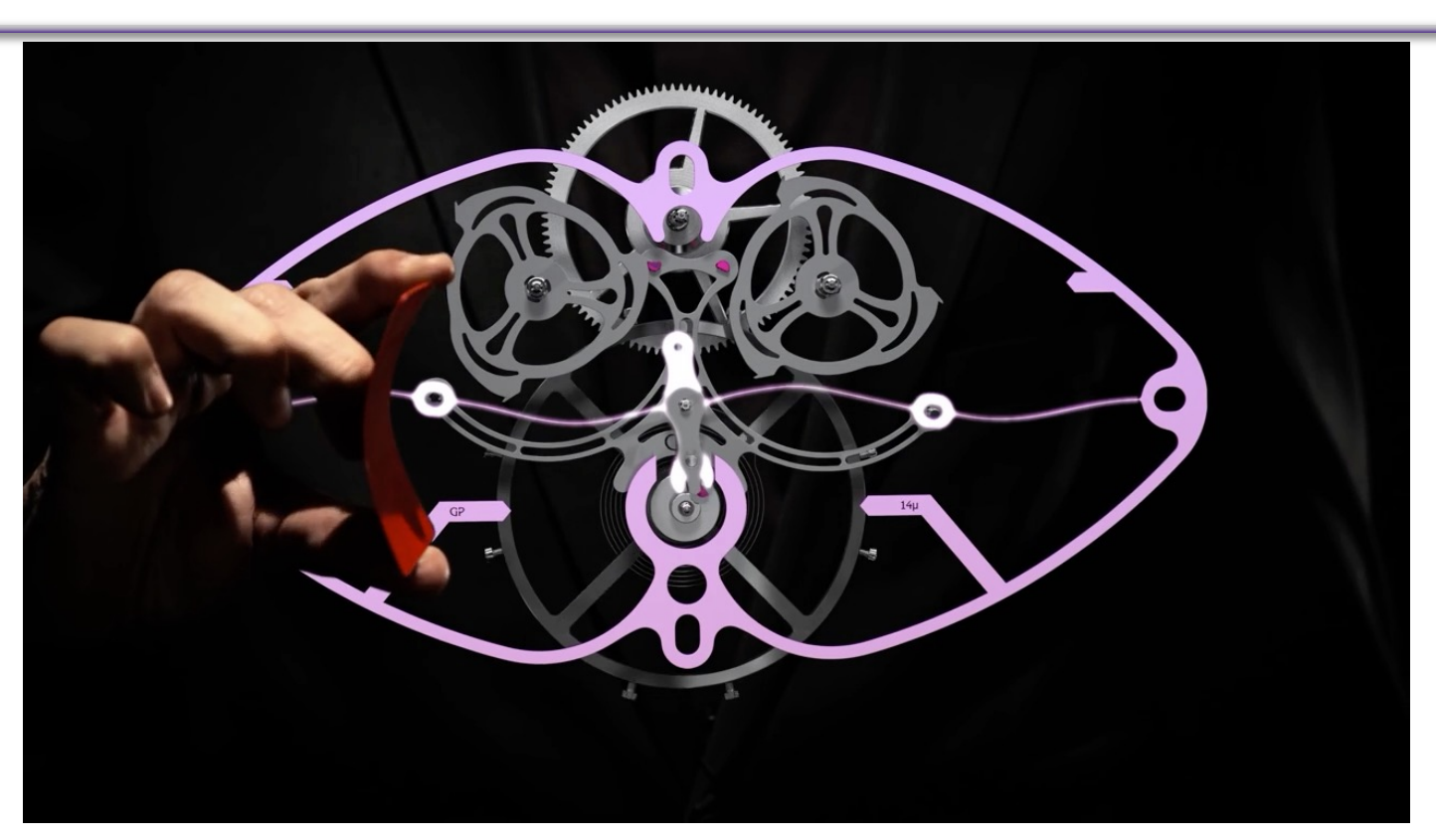
Usiné en verre!!!





#### https://www.youtube.com/watch?v=MQJFRt-2hDk

## Bistables en horlogerie (GP constant escapement)



«whatever the energy of the barrel, the escapement will transmit a constant energy to the regulator (or balance). In order to do so, the idea was to integrate a silicon intermediary device into the escapement which contained an extremely thin blade, accumulating energy up to a threshold close to instability; always the same. It then transmits this energy completely ...»

https://www.girard-perregaux.com/en/bridges/constant-escapement-lm-93505-21-631-ba6e

## Effet de la Température



## Flambage

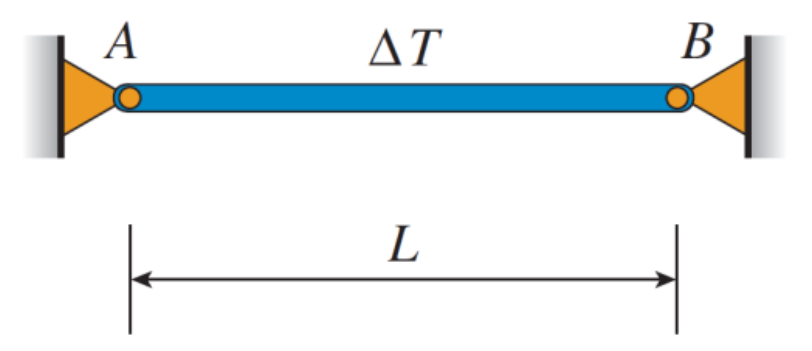
#### Effet de la Température

- Si  $\alpha \Delta T > 0$ , cette "expansion" provoque une contrainte compressive dans la poutre
- Si cette contrainte est trop élevée, il y aura flambage.

$$\sigma_{crit,Thermal} = \alpha \cdot \Delta T \cdot E = \pi^2 E \left(\frac{r}{L_{eff}}\right)^2$$

$$\Delta T_{\text{flamb}} = \frac{\pi^2}{\alpha} \left( \frac{r}{L_{eff}} \right)^2$$

 $\Delta T$  pour flambage ne depend pas de E!



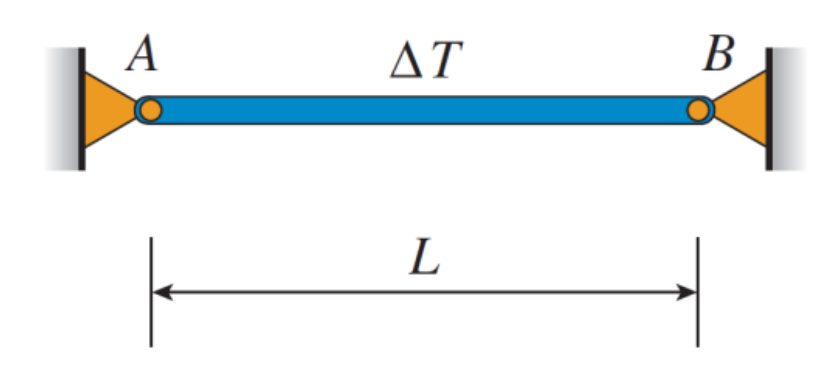
# L/r = 100; $\alpha = 10^{-6} \text{ K}^{-1}$ ; E = 200 GPa Quel $\Delta T$ pour flambage?

A. 
$$\Delta T = 100 \text{ K}$$

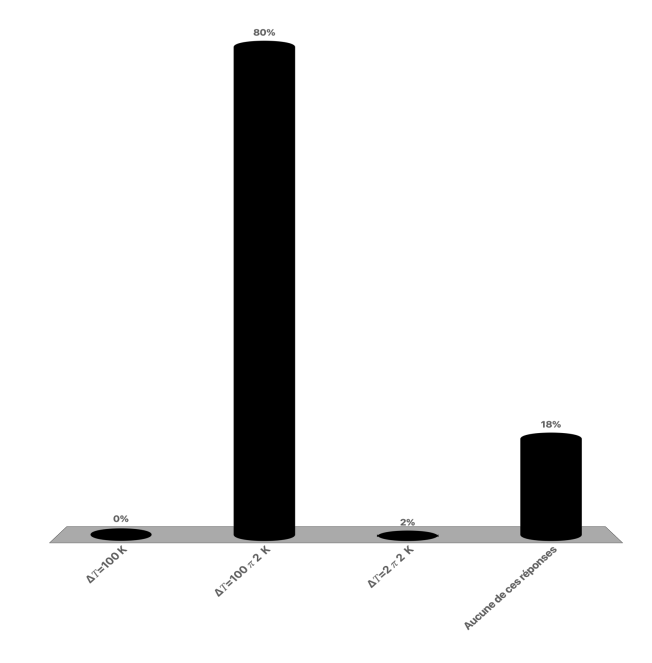
B. 
$$\Delta T = 100\pi^2 \text{ K}$$

c. 
$$\Delta T = 2\pi^2 \text{ K}$$

D. Aucune de ces réponses



$$\Delta T_{\text{flamb}} = \frac{\pi^2}{\alpha} \left( \frac{r}{L_{eff}} \right)^2$$



A. 
$$\Delta T = 100 \text{ K}$$

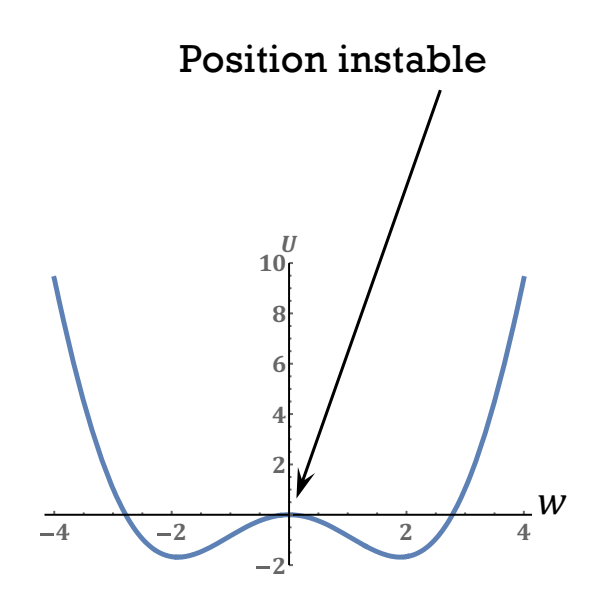
B. 
$$\Delta T = 100\pi^2 \text{ K}$$

c. 
$$\Delta T = 2\pi^2 \text{ K}$$

D. Aucune de ces réponses

## flambage – déformation plastique

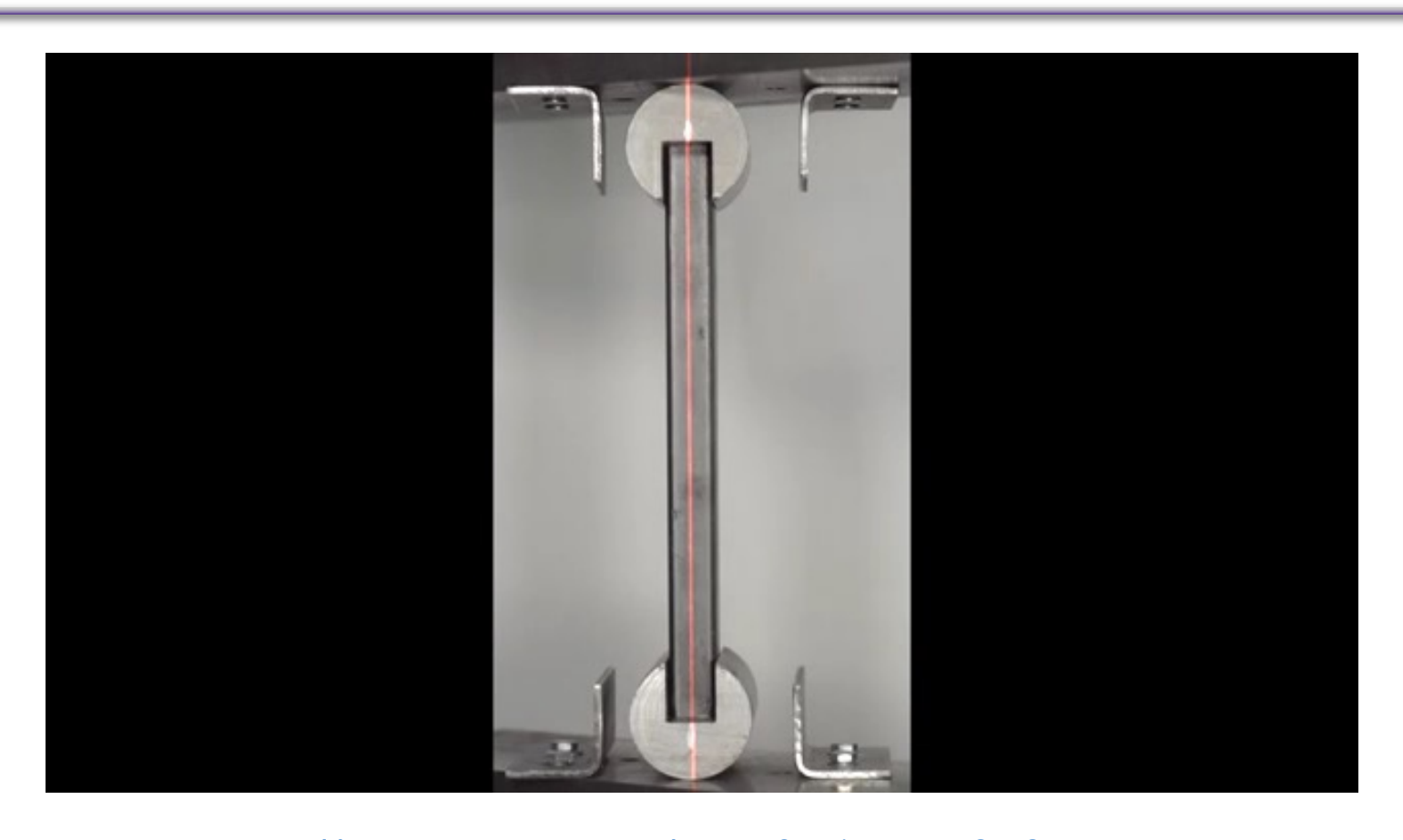




Canette: déformation plastique suite au flambage

## Flambage de poutres "pas minces"

(faible coefficient d'élancement, L/r pas >>1)

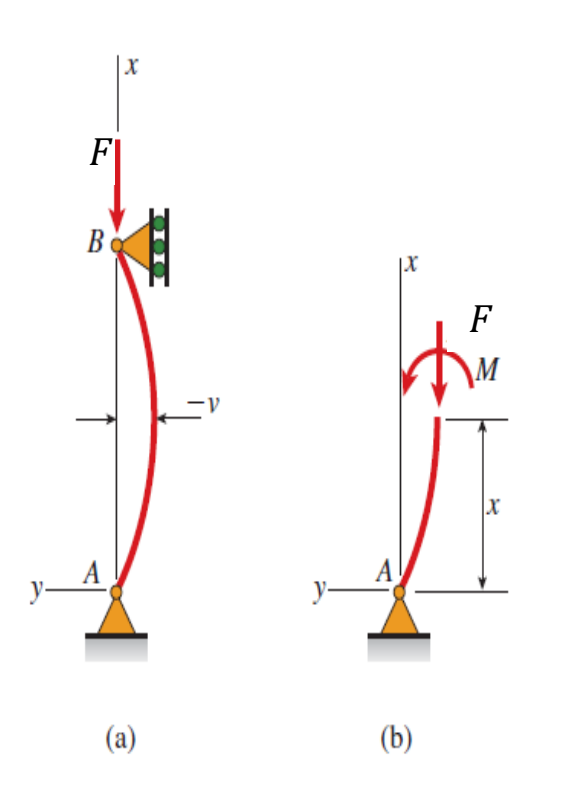


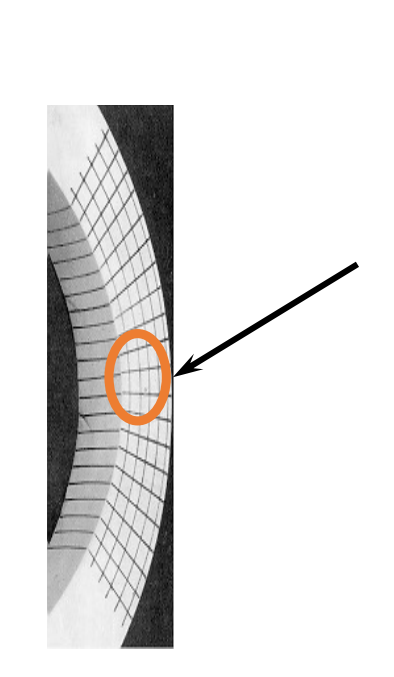
https://www.youtube.com/watch?v=jNwvub87l8o

## Flambage

#### Faible coefficient d'élancement

■ Contrainte  $\sigma(x, y)$  = dans une poutre qui se plie soumise à une force axiale F





$$M(x) = -Fw(x)$$

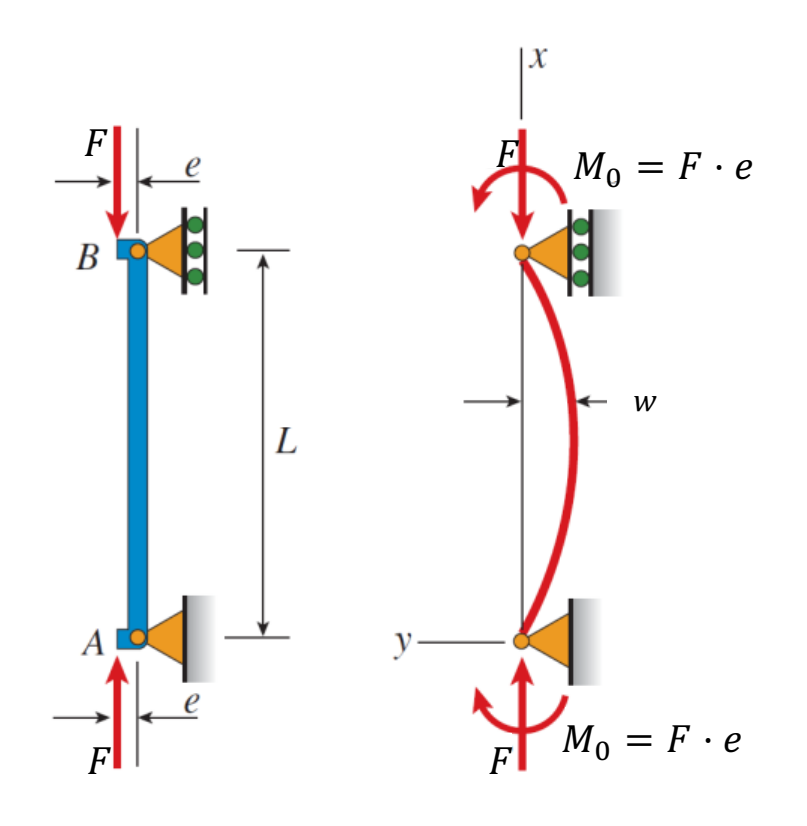
$$\sigma_{courbure}(x, y) = \frac{Fw(x)}{I}(y - y_0)$$

$$\sigma_{comp,Max,courbure} = \frac{F}{2} \frac{t}{I} w(x)$$

Si t/I est grand, défaillance par déformation plastique car forte contrainte due à la courbure.

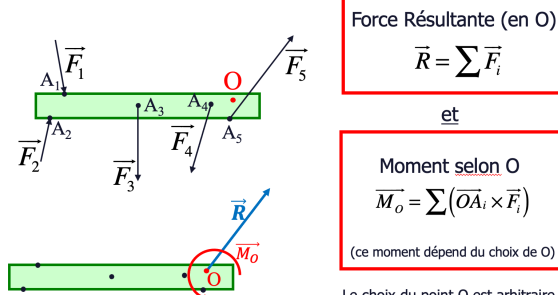
## Semaine 10b – partie 4 Objectifs d'apprentissage de cette partie

• Calculer la contrainte max dans une poutre avec <u>charges excentriques</u>



- Jusqu'à présent, la force/charge passait par le centroïde de la poutre
- Mais en pratique, la charge est souvent décalée de cet axe : chargement excentrique. Décalage *e*
- Nous pouvons modéliser l'excentricité avec une charge axiale F et un moment M<sub>0</sub> au support au point B
  - $\square$  Force externe en B: F = F
  - $\square$  Moment externe en B:  $M_0 = F \cdot e$

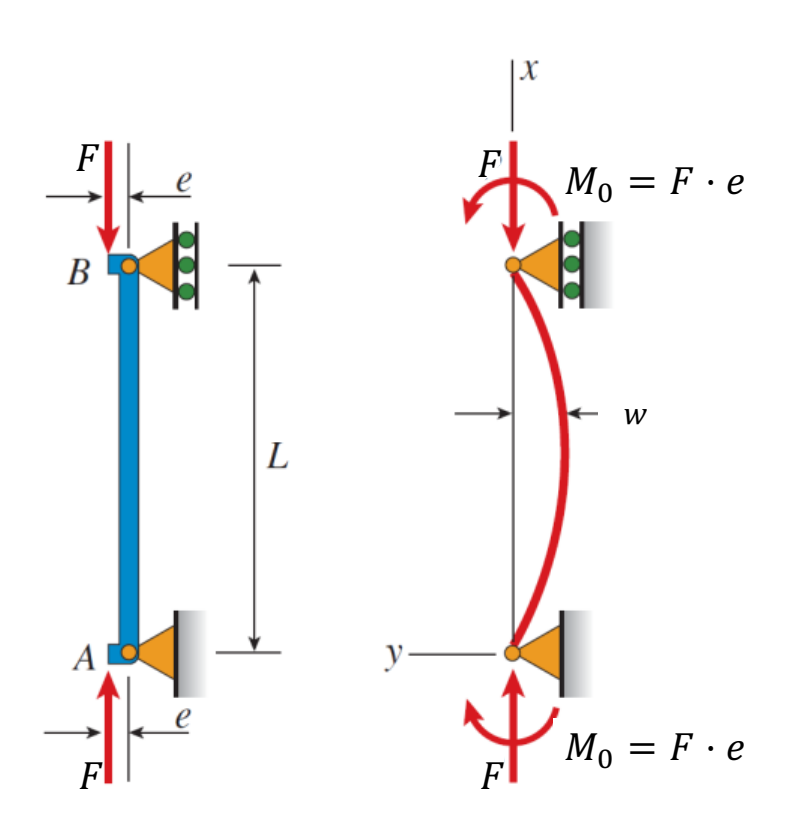
Tout ensemble de forces peut être réduit à 2 éléments



Le choix du point O est arbitraire Mais attention:  $\overrightarrow{M_0}$  dépend de O

## Flambage

#### Charges excentriques



Avec une charge excentrique, la poutre se déforme même sous de petites charges (car moments aux extrémités)

Moment de flexion  $M_z(x)$  dans la poutre

$$M_Z(x) = F.e - Fw(x)$$

Equation différentielle inhomogène:

$$EI\frac{\partial^2 w(x)}{\partial x^2} = M_Z(x)$$

$$\frac{\partial^2 w(x)}{\partial x^2} + \frac{F}{FI}w(x) = \frac{F}{FI}e$$

## Flambage

#### Charges excentriques

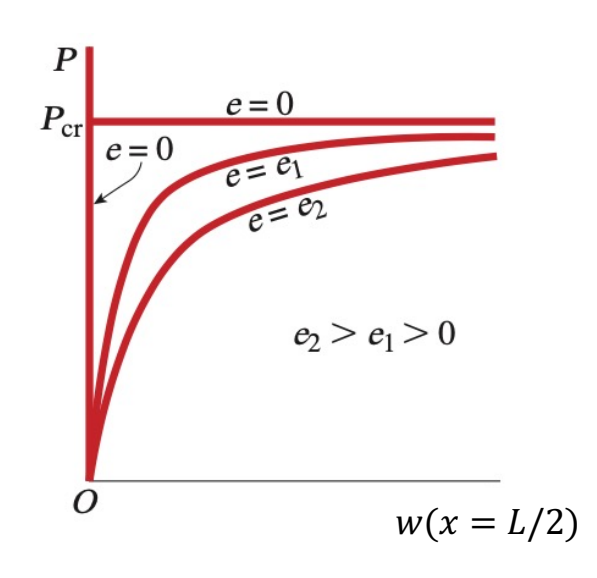
■ Flèche, une fois l'équation résolue:

$$w(x) = C_1 \sin\left(\sqrt{\frac{F}{EI}}x\right) + C_2 \cos\left(\sqrt{\frac{F}{EI}}x\right) + e$$

■ Conditions aux bords pour trouver  $C_1$  et  $C_2$ :

$$w(x = 0) = 0$$
$$w(x = L) = 0$$

$$w(x) = -e\left(\tan\left(\sqrt{\frac{F}{EI}}\frac{L}{2}\right)\sin\left(\sqrt{\frac{F}{EI}}x\right) + \cos\left(\sqrt{\frac{F}{EI}}x\right) - 1\right)$$



Si 
$$e = 0$$
 on a
$$w(x) = C_1 \sin\left(\sqrt{\frac{F}{EI}}x\right)$$
ou  $w(x) = 0$ 

formule secant (1/cos)

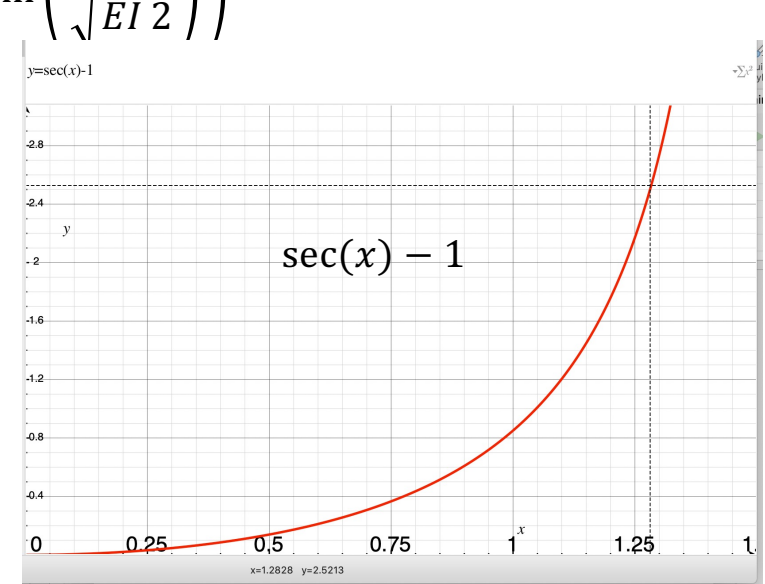
- La flèche maximale de cette poutre est au milieu (à x = L/2).
- C'est à ce point, avant le flambage, que le moment interne et la flèche sont maximaux, pour un F donné:

$$|w|_{max} = \left| w\left(\frac{L}{2}\right) \right| = e\left(-1 + \cos\left(\sqrt{\frac{F}{EI}}\frac{L}{2}\right) + \tan\left(\sqrt{\frac{F}{EI}}\frac{L}{2}\right)\sin\left(\sqrt{\frac{F}{EI}}\frac{L}{2}\right)\right) =$$

$$= e\left(\frac{1}{\cos\left(\sqrt{\frac{F}{EI}}\frac{L}{2}\right)} - 1\right)$$

$$|w|_{max} = e \left( \sec \left( \sqrt{\frac{F}{EI}} \frac{L}{2} \right) - 1 \right)$$

(Si 
$$e = 0$$
, on retombe sur  $w = 0$ )  $\sec(x) = 1/\cos(x)$ 



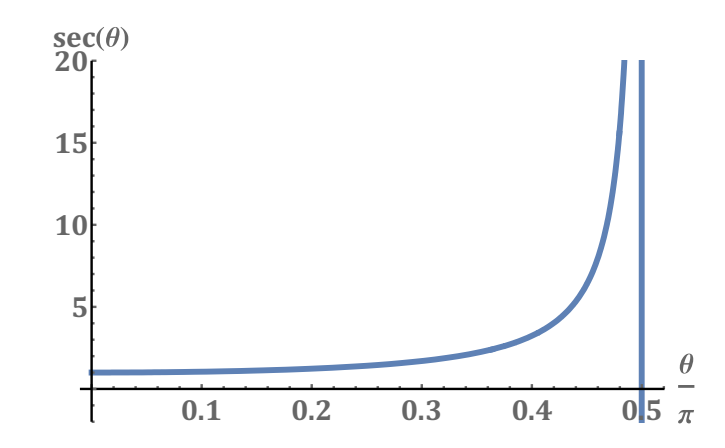
$$|w|_{max} = e \left( \sec \left( \sqrt{\frac{F}{EI}} \frac{L}{2} \right) - 1 \right)$$

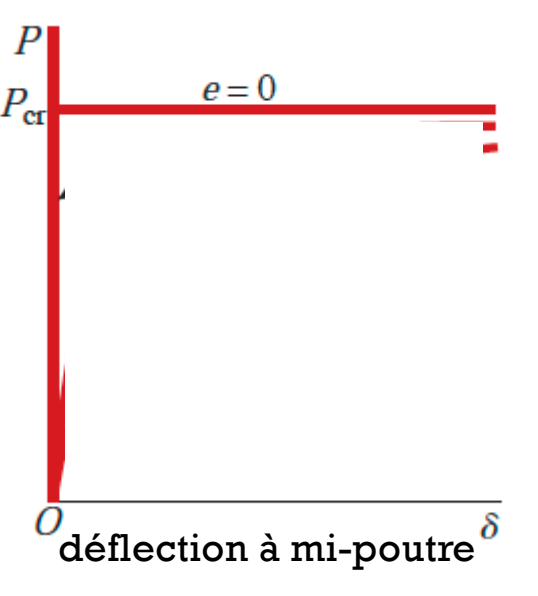
- la fonction  $sec(\theta)$  tend vers l'infini pour  $\theta = \frac{\pi}{2}$
- Cela détermine une valeur critique de la charge où w(x) serait « infini »:

$$\alpha = \sqrt{\frac{F_{crit}}{EI}} \frac{L}{2} = \frac{\pi}{2}$$

$$F_{crit} = \pi^2 \frac{EI}{L^2}$$

c'est le même  $F_{crit}$  que charge non-excentrique! mais la déflection commence pour tout F > 0





#### Quelle est la Contrainte maximale?

■ Moment de flexion :  $M_z(x) = F \cdot e - Fw(x)$ 

$$|w|_{max} = e \left( \sec \left( \sqrt{\frac{F}{EI}} \frac{L}{2} \right) - 1 \right)$$

$$M_{max} = F \cdot e \sec \left( \sqrt{\frac{F}{EI}} \frac{L}{2} \right) = F \cdot e \sec \left( \sqrt{\frac{F}{F_{crit}}} \frac{\pi}{2} \right)$$

■ Contrainte maximum est compressive:

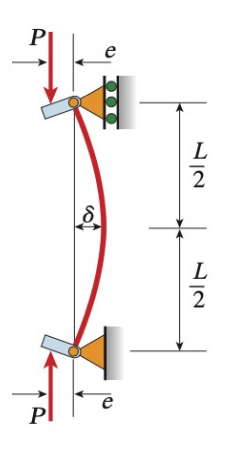
$$\sigma_{max} = -\frac{F}{A} - \frac{M_{max} \cdot c}{I}$$

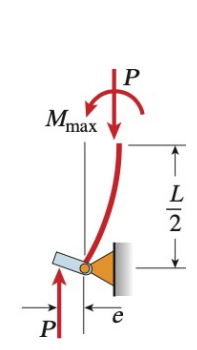
rappel: c est la distance maximale à l'axe neutre (en y).

$$\sigma_{max} = -\frac{F}{A} \left( 1 + \frac{A}{I} e. c. \sec \left( \sqrt{\frac{F}{F_{crit}}} \frac{\pi}{2} \right) \right)$$

 $|\sigma_{max,compression}| > |\sigma_{max,traction}|$  car force axiale compressive







(comparer à slide 25)

 Contrainte compressive maximum (côté concave) exprimée en fonction du rayon de giration r en fonction de charge F

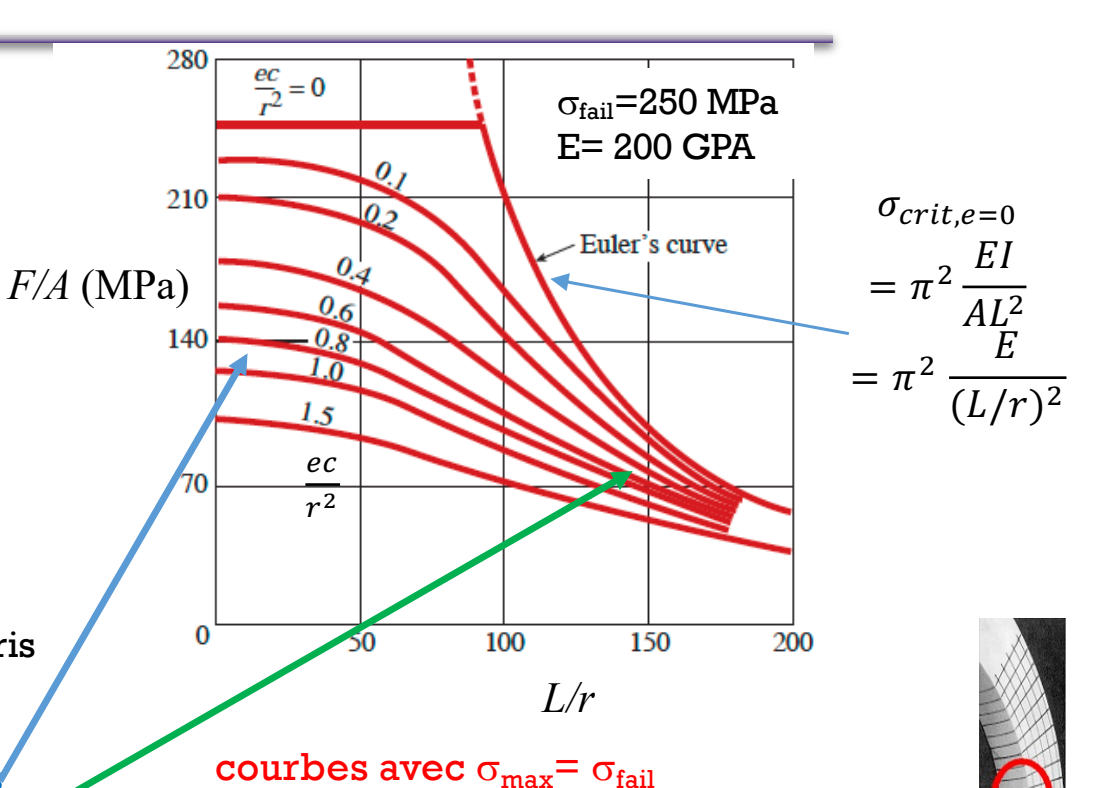
$$r^2 = \frac{I}{A}$$

$$\sigma_{max} = -\frac{F}{A} \left( 1 + \frac{ec}{r^2} \sec\left(\sqrt{\frac{F}{EA}} \frac{L}{2r}\right) \right)$$

où  $\frac{ec}{r^2}$  est le rapport d'excentricité, typiquement compris entre 0 et 3, mais souvent <1.

La charge excentrique a un effet relatif plus prononcé sur les poutres peu élancées.

La contrainte maximum (la charge externe max avant défaillance) décroit quand L/r augmente

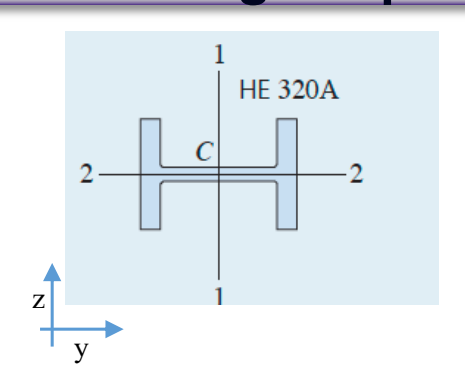


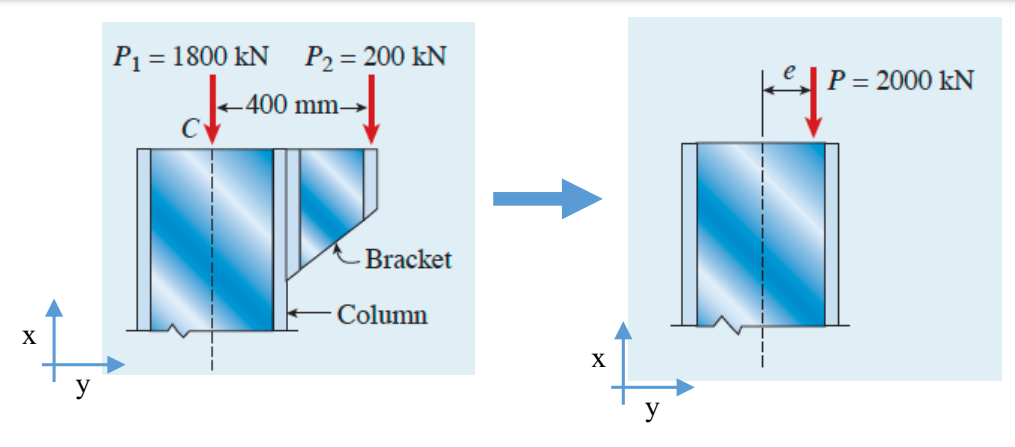
La charge F doit être choisie pour être

en-dessous de la ligne rouge

## Exemple charge excentrique

## Trouver la contrainte compressive maximum dans cette poutre pour la charge imposée





On trouve *e* qui qui donne le même moment des forces en C que les 2 forces

Une poutre en acier de longueur 7,5 m.

On trouve les valeurs de géométrie dans des tableaux pour une poutre H 320A

$$A = 124.4 \,\mathrm{cm^2}$$
  $r = 13.58 \,\mathrm{cm}$   $c = \frac{310 \,\mathrm{mm}}{2} = 155 \,\mathrm{mm}$ 

$$\sigma_{max} = -\frac{F}{A} \left( 1 + \frac{ec}{r^2} \sec\left(\sqrt{\frac{F}{EA}} \frac{L}{2r}\right) \right) = 236 \text{ MPa}$$

Et on compare au limite pour le matériau (mais c'est une grande contrainte)

- Les longues poutres avec un grands L/r : flambage à faible contrainte
- Les courtes poutres avec un faible L/r : défaillance par rupture du matériau
- Les poutres intermédiaires: défaillance par flambage plastique

■ Fin de la matière avec Herbert Shea

■ Vous pouvez me poser des questions par mail, ou prendre rdv pour parler sur zoom (avec moi ou un assistant). Svp n'hésitez pas!

■ Bon courage!